

## CARTAS AO EDITOR

Em 28 de outubro de 1980

Senhor Editor,

"Acabo de receber o número de abril de *Química Nova*, juntamente com o questionário a respeito da fundação de uma nova revista. A propósito disto, gostaria de salientar alguns aspectos:

1. Sou inteiramente a favor de uma revista científica séria para a publicação de artigos e comunicações de pesquisa química original, a ser publicada no Brasil. No entanto, condicione este apoio às circunstâncias abaixo.
2. Não concordo de maneira alguma em se permitir a publicação de artigos em português. O Inglês, deve ser a única língua permitida, a exemplo do que ocorre em vários países. Isto não tem nada a ver com patriotismos, mas sim com um desejo de ver nossa futura revista penetrar no meio científico internacional. Em português continuaremos falando para nós mesmos.
3. Sei de todas as dificuldades para se editar uma revista no Brasil, mas uma revista nos moldes propostos só tem sentido se se garantir que saia em dia e sem os lamentáveis atrasos que pessonham *Química Nova*.
4. A revisão tipográfica de *Química Nova* é extremamente precária, e os artigos vêm pejados de erros. Isto aconteceu agora pela segunda vez comigo, no número de abril de 1980, em que um artigo meu trouxe sete erros não constantes do original, inclusive troca de legendas de figuras. Oras se o número de abril sai em outubro, não entendo a recusa de *Química Nova* em submeter as provas tipográficas dos autores, o que é feito rotineiramente no mundo todo. Este tipo de coisa seria inconcebível em qualquer revista internacional.

Bem, estas são apenas algumas idéias que me surgiram e que resolvi comunicar-lhe como entusiasta que sou de SBQ.

Quanto ao empastelamento que meu artigo sofreu, a maioria dos erros é aparente no texto. Pediria, no entanto, que isto fosse mencionado, a bem da verdade, no próximo número, e que fosse feito a correção, em forma de errata, com a troca das legendas das duas figuras da pág. 105 do número de abril. Acredito que isto fosse ser feito facilmente e assim o espero, agradecendo-lhe antecipadamente a atenção.

Durante minha estada aqui em Cambridge até agosto de 1981, ponho-me à sua disposição e da SBQ."

Atenciosamente,

Carlos A. Filgueiras

University Chemical Laboratory  
Lensfield Road,  
Cambridge CB2 1ew  
Inglaterra

Prezado Dr. Filgueiras:

Agradeço a atenção que V. Sa. dedica à *Química Nova* e informo, também a todos os sócios da SBQ, que a partir do número de julho 1980 a nossa revista já conta com os serviços de um revisor profissional, especialmente contratado para eliminar algumas das nossas deficiências.

Atenciosamente,

O Editor.

## NOTA SOCIAL

### 2º ENCONTRO REGIONAL DE QUÍMICA

(Regional Araraquara - Ribeirão Preto - São Carlos

*Instituto de Química de Araraquara - UNESP*

6, 7 e 8 de novembro de 1979

#### COMISSÃO ORGANIZADORA:

- Antonio Carlos Massabni - Coordenador
- Miguel Jafelicci Júnior - Secretário
- Marian Rosaly Davolos
- Maria Lúcia Ribeiro
- Romeu Cardoso Rocha Filho
- Douglas Wagner Franco

#### PATROCÍNIO:

- Fundação de Amparo à Pesquisa do Estado de São Paulo

#### COLABORAÇÃO:

- IMBRACRIOS - Indústria Brasileira de Crios Ltda.
- VEMARA - Veículos e Máquinas Araraquara Ltda.

ÍNDICE		
SESSÕES DE COMUNICAÇÕES	1	1
Sessão de Comunicação	1A	1
Sessão de Comunicação	1B	5
Sessão de Comunicação	1C	8
Sessão de Comunicação	1D	13
SESSÕES DE COMUNICAÇÕES	2	17
Sessão de Comunicação	2A	17
Sessão de Comunicação	2B	22
Sessão de Comunicação	2C	26
Sessão de Comunicação	2D	31
SESSÕES DE COMUNICAÇÕES	3	36
Sessão de Comunicação	3A	36
Sessão de Comunicação	3B	41
Sessão de Comunicação	3C	46
SESSÕES DE COMUNICAÇÕES	4	50
Sessão de Comunicação	4A	50
Sessão de Comunicação	4B	54
Sessão de Comunicação	4C	57
SESSÕES DE COMUNICAÇÕES	5	61
Sessão de Comunicação	5A	61
Sessão de Comunicação	5B	65
Sessão de Comunicação	5C	70
SESSÕES DE COMUNICAÇÕES	6	74
Sessão de Comunicação	6A	74
Sessão de Comunicação	6B	76

-2-

S.C. 1A - 2 ESTUDO TEÓRICO DE COMPOSTOS ORGÂNICOS E INORGÂNICOS DE ENXOFRE E NITROGENO. Milan Trisi (Departamento de Química e Física Molecular, Instituto de Física e Química de São Carlos, USP) e William G. Laidlaw (Departamento de Química, Universidade de Calgary, Canadá).

Aplicando-se o cálculo Hartree-Fock-Slater ab initio ao estudo das propriedades eletrônicas e conformações do composto de enxofre e nitrogênio recentemente sintetizados (ions tipo caixa  $S_4N_3^+$  e  $S_4N_2^{2+}$ ) ou precursores de sólidos "unidimensionais" ( $S_2N_2$ , tetrafúlfvaleno) (Fig. 1). A formação e estrutura dos ions  $S_4N_3^+$  e  $S_4N_2^{2+}$  se relacionam com a molécula bem conhecida  $S_4N_4$  mediante a adição hipotética de  $N^+$  ou  $N^+$  a elas. Os cambios de estrutura são relacionados à evolução das orbitais ligantes para enxofre-enxofre em  $S_4N_4$ , p. ex. a simetria  $2B_1 \rightarrow 2A_1$  ( $\pi \rightarrow \pi^*$ ) para a banda UV medida para  $S_4N_4$  em 360 nm. A distribuição da densidade eletrônica em  $S_4N_2^{2+}$  se relaciona com o início da reação para formar o polímero  $(SN)_x$ . Se discute os cambios de estrutura eletrônica em tetrafúlfvaleno por mono e dijonização.

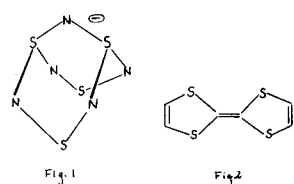


Fig. 1

Fig. 2

SESSÃO DE COMUNICAÇÃO	6C	62
SESSÕES DE COMUNICAÇÕES	7	65
Sessão de Comunicação	7A	65
Sessão de Comunicação	7B	66
Sessão de Comunicação	7C	62
SESSÕES DE COMUNICAÇÕES	8	67
Sessão de Comunicação	8A	97
Sessão de Comunicação	8B	100
Sessão de Comunicação	8C	103

-3-

S.C. 1A - 3 RECONHECIMENTO FOTOCOMBINADO DO  $K_3Cr(CNS)_6 \cdot 4H_2O$  DOPADO COM  $^{51}Cr$  NO ESTADO SÓLIDO: Fernando M. Lanzas-Instituto de Física e Química de São Carlos, DQSC/USP e Carol H. Collins- Instituto de Química da Unicamp.

Nossos estudos anteriores com o sistema  $K_3Cr(CNS)_6 \cdot 4H_2O$  evidenciaram a ocorrência de efeitos indesejáveis, para nosso propósito, induzidos pela luz existente no nosso laboratório (ver, por exemplo, o artigo vol. 31, p. 111 pg. 48, 1980 e Supl. de Ciência e Cultura vol. 32, 77 pg. 130, 1980). Decidimos, a partir destas observações, que seria de interesse obter menor a influência da luz nas reações químicas no sistema  $K_3Cr(CNS)_6 \cdot 4H_2O$ , dopado com  $^{51}Cr$ , no estado sólido. Para tal, o complexo foi submetido à ação de uma lâmpada de vapor de mercurio à alta pressão, por diferentes tempos e a diferentes distâncias da fonte. O complexo assim ativado é dissolvido em água e as espécies formadas, de fórmula geral  $[Cr(CNS)_n(H_2O)_{12-n}]^{3-n}$  são analisadas por uma conjugação de cromatografia de fracionamento e trama anfônica (Supl. de Ciência e Cultura vol. 32, 77 pg. 130, 1980).

Os resultados obtidos demonstram um acentuado efeito da luz sobre as espécies de fórmula geral  $[Cr(CNS)_n(H_2O)_{12-n}]^{3-n}$ , com predominância das espécies  $[Cr(CNS)_4(H_2O)_2]^{1-}$  e  $[Cr(CNS)_5(H_2O)]^{2-}$ .

Estes resultados são consistentes com aqueles encontrados em trabalhos anteriores realizados no nosso laboratório, por ativação do complexo com outras fontes, tais como calor e/ou irradiação neutrônica.

Os dados obtidos nesse trabalho são de grande importância no entendimento do mecanismo das reações que ocorrem no  $K_3Cr(CNS)_6$  dopado com  $^{51}Cr$ , no estado sólido.

O cromo obtemos nesse trabalho são de grande importância no entendimento do mecanismo das reações que ocorrem no  $K_3Cr(CNS)_6$  dopado com  $^{51}Cr$ , no estado sólido.

Os dados obtidos nesse trabalho são de grande importância no entendimento do mecanismo das reações que ocorrem no  $K_3Cr(CNS)_6$  dopado com  $^{51}Cr$ , no estado sólido.

S.C. 1B - 1 DA OXIDAÇÃO DE TRANS-[ $Ru(NH_3)_5(P(OEt)_3)_2(H_2O)_3]^{2+}$ , II Silvia C. Martins (UFU), Douglas W. Franco (IQSC/USP).

Por meio de eletrólise a potencial controlado, ( $E=0,58V$  vs E.C.B.,  $C_H = 10^{-3}M$ ), oxida-se quantitativamente o composto trans-[ $Ru(NH_3)_5(P(OEt)_3)_2(H_2O)_3]^{2+}$  no correspondente complexo de Ru(III). O espectro eletrônico da solução altera-se durante a eletrólise. Observa-se decréscimo de absorbância a 316 nm ( $\approx 7.4 \times 10^{-3}$ ) concentrando aumento a 393 nm ( $\approx 8.1 \times 10^{-3}$ ). Nota-se a presença de um ponto isobáutico a 370 nm. Por redução do complexo de Ru(III) com cianogênio de sítio regenerava-se o correspondente complexo de Ru(II).

Levando-se em conta as características do espectro eletrônico e por fotografia da solução de trans-[ $Ru(NH_3)_5(P(OEt)_3)_2(H_2O)_3]^{2+}$ , sua  $\lambda_{max}$  é superior a 3.

Resgatando-se o complexo de Ru(III) com Ias observa-se o desenvolvimento de banda de absorção a 456 nm. Com o passar do tempo esta banda de transferência de carga diminui originando o espectro caracterestico de trans-[ $Ru(NH_3)_5(P(OEt)_3)_2(H_2O)_3]^{2+}$ , notando-se a presença de um ponto isobáutico a 402 nm.

CRPq, FAPEF

S.C. 1B - 2 ESTUDOS DA FORMAÇÃO DE PARES ÍONICOS NA ZELITREDUÇÃO DE 1,4-NAPHTOQUINONA EM MEIOS AQUECIDOS:

Ernesto Rafael Gonçalves e Luiz Alberto Avanci (IQSC/USP); Rosa Maria Bonfim Rodrigues (Grupo de Eletrroquímica - DQ/USP/SC).

A formação de pares (cátion e anión) do eletrólito suporte no processo de redução é de grande influência tanto no mecanismo quanto na cinética do processo eletródico. Essas associações são particularmente importantes entre moléculas polares e cátions metálicos (alcalinos e alcalino terreos) e paralelamente envolvem várias espécies em equilíbrio.

As constantes de associação ( $K_a$ ) entre o diâmion de 1,4-naphtoquinona ( $1,4\text{-NQ}$ ), formado por redução sobre mercúrio em soluções de  $N,N\text{-dimetilformamida}$  contendo um excesso iônico (perchlorato de tetraetilaâmônio) e íons  $H_2O$ , foram determinadas através da voltametria cíclica.

Os deslocamentos progressivos no potencial de pico para a anodização do  $1,4\text{-NQ}$  com o aumento da concentração de  $\text{Na}^+$ , a força iônica constante, evidenciam a existência de até quatro equilíbrios de associação.

O método simples de análise de resultados, baseado na variação do potencial de pico com o  $\log[\text{Na}^+]$ , mostrou-se inadequado no presente caso, pois não evidencia todas as etapas em que o anódico varia.

A utilização do conhecido método gráfico de Ledan (1) devidamente adaptado para o sistema em estudo, permitiu establecer a existência de quatro espécies iônicas e calcular em primeira aproximação as respectivas constantes de associação. Um refinamento dessas cálculos pelo método matricial por nívelamento das equações simultâneas (2) mostrou valores ligeiramente diferentes das constantes, confirmou o número e a distribuição das espécies iônicas encontradas pelo método anterior. Os valores finais das constantes de associação para as diferentes espécies iônicas, obtidos por solução matricial são:

Especie	$K_{assoc}$	$\text{Na}^+$
$1,4\text{-NQ} \cdots \text{Na}^+$	411	1
$1,4\text{-NQ} \cdots (\text{Na}^+)_2$	69,8	0,5
$1,4\text{-NQ} \cdots (\text{Na}^+)_3$	60,7	0,4
$1,4\text{-NQ} \cdots (\text{Na}^+)_4$	4,83	0,03

A utilidade dos diferentes métodos de cálculo é analisada em função da posterior utilização dos resultados experimentais.

1. Rossini, F.O.C. e Rossini, N., "The Determination of Stability Constants". McGraw-Hill, New York, 1961.

2. Milstein, N.C., "Nova Sistematização de Cálculo de Constante de Formação de Complexos Sucessivos Mononucleares, por Solução de Equações Simultâneas", M. orientada por E.A. NEVES, Instituto de Química - USP - São Paulo (1977).

S.C. 1A - 4 ESTABILIDADE DOS HETEROCICLOS NITROGENADOS. Jean Pierre Gavetman e Oswaldo Treu (Instituto de Química de Araraquara - UNESP).

No contexto da teoria do índice de estabilidade (I.S.) (Tetrahedron 33, 2205 (1977)) aplicamos esta teoria ao caso dos heterociclos nitrogenados. As energias de decomposição foram ressalvadas usando a lei de proporcionalidade de Mulliken. Essas energias, em termos de  $\Delta E$ , são obtidas pela equação:

$$\Delta E = \sum_{i,j} \alpha_i \beta_j$$

Além da decomposição por via radicalica, os heterociclos sofram frequentemente decomposição por via iônica em meio polar. Para isso calculemos também os índices de processos de decomposição do tipo:



Comparando os índices (1.5.) com os valores de REPF (Tetrahedron 31, 295 (1975)), podemos tirar as conclusões seguintes:

1. para os heterociclos monocíclicos os resultados obtidos pelo IS são bem superiores aos resultados do REPF, principalmente quando a decomposição é processada por via iônica: caroína, pirimidina, tiazina, etc... e dos azoffulvenos.
2. para os heterociclos polícíclicos, os resultados do IS e do REPF são coerentes entre si, com exceção dos azoffulvenos. Para o IS, esses compostos seriam gravemente instáveis enquanto que o REPF os prevê de estabilidade igual à do azofulveno.

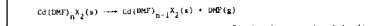
S.C. 1A - 5 PARÂMETROS CÍNICOS NA DECOMPOSIÇÃO TÉRMICA DE ADUTOS DE CLORO:

TO E BRIGITTO DO CARMO COM N.V. D'ALKAINE-FURMANIDA.

Óscar Amâncio de Oliveira (Departamento de Química - CCU - Universidade Federal do Rio Grande do Norte).

Claudio Airoldi e Átilio Pereira Chagas (Instituto de Química - Universidade Estadual de Campinas).

Utilizando o método de Rogera e Smith (1) foram calculados os parâmetros cínicos da reação de decomposição:



sendo  $X = \text{Cl}$  ou  $\text{Br}$  e  $n = 1$  ou 2. Para estes cálculos foram usados dados de calorimetria exploratória diferencial e os resultados obtidos foram os seguintes:

Composto	$E/\text{kJ.mol}^{-1}$	$n$	$A/\text{a}^2$	Temperatura inicial de decomposição/ $^{\circ}\text{C}$	Velocidade de aquecimento/ $^{\circ}\text{C.m}^{-1}$
$\text{Cd}(IMCl}_2$	84	0,23	$1,80 \times 10^9$	66	2,5
$\text{Cd}(IMCl}_2$	176	0,50	$2,54 \times 10^9$	152	5,0
$\text{Cd}(IMCl}_2$	176	0,25	$1,89 \times 10^9$	123	2,5
$\text{Cd}(IMCl}_2$	101	0,17	$1,07 \times 10^9$	114	2,5

(\*)  $\text{Cd}(IMCl}_2$  produzido pela reação  $\text{Cd}(IMCl}_2 \text{Cl}_2(s) \rightarrow \text{Cd}(IMCl}_2 \text{Cl}_2(g) + \text{IM}(g)$

Os valores das energias de activação ( $E$ ) indicam que a estabilidade cínica dos adutos aumenta na seqüência  $\text{Cd}(IMCl}_2 < \text{Cd}(IMCl)_2 < \text{Cd}(IMCl}_2 \text{Cl}_2$ . Estes valores provavelmente são controlados pela ruptura da ligação cátodo-oxigénio, que deve ser o passo determinante da velocidade de decomposição. O ordenamento ( $E$ ) e o fator de aquecimento ( $A$ ) estão relacionados à macro e microestrutura das adutos e como estas foram pulverizadas igualmente, talvez as diferenças nos valores destes parâmetros se devam às diferenças nas microestruturas dos adutos. Estas diferenças estruturais parecem existir inclusive entre o  $\text{Cd}(IMCl}_2$  preparado em solução e o  $\text{Cd}(IMCl}_2$  produzido pela decomposição parcial do  $\text{Cd}(IMCl}_2 \text{Cl}_2$ . Mais a ordem de reação, o fator pré-arranque e mesmo a temperatura inicial de decomposição são diferentes para estes adutos. CAFFES/FINEP.

1. R.W. Rogers e L.C. Smith, Thermochimica Acta, 1, 1 (1970).

S.C. 1B - 3 CORROSIÃO DO AÇUL AISI 304 EM ETANOL. PARTE I. RESULTADOS VOLTAMÉTRICOS: M. R. CUNHA, C. V. D'ALKAINE (Grupo de Eletroquímica - DQ - UFSCar).

O presente trabalho analisa os resultados de voltametria cíclica de um eletrodo AISI 304 em etanol.

O eletrólito suporte usado foi  $\text{NaCl} 0,1 \text{M}$ . O eletrodo de referência foi  $\text{Ag} + \text{AgCl} 0,6 \text{M}$ .

A desoxigenação foi feita com  $\text{N}_2$  livres de  $\text{O}_2$  durante 15' e a cela usada era composta de três compartimentos.

Os resultados voltamétricos de soluções desoxigenadas partindo de  $-1,0$  Volt apresentaram 4 picos anódicos antes da região de transpassividade ( $+0,0$  Volt) e 3 picos catódicos na varredura catódica. Os potenciais dos picos anódicos mostraram certa irreprodutibilidade, o que não acontece com os picos catódicos.

Em soluções oxigenadas os picos anódicos apresentaram deslocalizações que mostraram que o oxigénio participa no processo de formação do filme. Na varredura catódica o oxigénio apareceu um quarto pico, que demonstrou ser devido à redução do oxigénio o que está de acordo com a alta concentração de oxigénio em etanol (1). Esta redução, a velocidades de varredura muito baixas ( $0,2 \text{ mV/sec}$ ), deu lugar, a uma reta de Tafel, em concordância com resultados prévios (2), mostrando que o processo é controlado pela reação eletroquímica.

As técnicas voltamétricas realizadas sobre eletrôdos previamente envelhecidos mostraram que este processo reduz a corrente de dissolução passiva.

Em conclusão, as medidas voltamétricas permitem demonstrar que a reação catódica da corrosão do AISI 304 em etanol é a redução do oxigénio controlada por ativação e que o oxigénio participa na formação do filme passivo.

Referências:

(1) M.R. Cunha, C.V. D'Alkaine. Relatório de Pesquisa Química I (IV semestre 1980, DQ, UFSCar).

(2) C.V. D'Alkaine, A. Amitrano. Revista Iberoamericana de Corrosión y Protección (España) 8, (1976).

(3) C.V. D'Alkaine, A. Amitrano. Revista Iberoamericana de Corrosión y Protección (España) 10, (1979) 1.



**S.C. 2A - 1** Extração de Radionuclídeos Através de Trituração das Ftailocianinas Irradiadas. Isabel Cristina Sales Fontes, Kenneth E. Collins e Carol H. Collins (Instituto de Química, Universidade Estadual de Campinas).

Uma das técnicas usadas para a separação de radionuclídeos com alta atividade específica, do composto sólido irradiado, é a extração com solventes (tais como: tolueno, butílica ácida ou água). Através deste método os nuclídeos zinco-65, cobre-64 e cobalto-60 são facilmente extraídos das suas respectivas ftailocianinas na forma cristalina e, após irradiação com neutrinos térmicos. Entretanto, a extração destes radionuclídeos da sua respectiva ftailocianina, na forma cristalina, não havia sido observada no passado. Devido a isto, foi sugerido que o mecanismo de extração depende da transformação dos ftailocianinas, provocada pelo contacto com os solventes de extração.

Observou-se recentemente a extração dos radionuclídeos zinco-65, cobre-64 e cobalto-60 de suas respectivas  $\beta$ -ftailocianinas irradiadas, trituradas com cloreto de sódio, na presença ou não dos solventes cristalizantes, e extraídas com ácidos diluídos ou misturas de ácidos diluídos e solventes de cristalização tais como tolueno, benzêno ou tetracloreto de carbono.

Porcentagens altas dos nuclídeos zinco-65 e cobalto-60 também foram obtidas, triturando as suas respectivas  $\beta$ -ftailocianinas irradiadas com cloreto de sódio e tetracloreto de carbono e lavando-as com água ou ácido, até eliminar o cloreto de sódio. Notou-se que praticamente não ocorre extração de cobalto-60, quando agita-se a  $\beta$ -ftailocianina de cobalto em água, por um período de duas horas, à temperatura ambiente. Portanto, a trituração prévia do compostos sólido, com cloreto de sódio, constitui um novo método importante para a extração das ftailocianinas metálicas, talvez por aumentar a área da superfície dos sólidos, facilitando assim a extração, uma vez que a distância de difusão do radionuclídeo dentro da massa sólida é diminuída, antes que o radioisótopo fique em contacto com o solvente de extração.

(FAPESP, UNICAMP)

**S.C. 2A - 2** O MÉTODO DA MOLECULA ISOLADA NO ESTUDO DE INTENSIDADES NO INFRA-VERMELHO. M.N. Rame, J.G.R. Tottos e R.E. Bruns (Instituto de Química, UNICAMP).

O método da molécula isolada foi aplicado ao estudo da intensidade vibracional no infravermelho do estiramento C=C numa série de etilenos homobatônicos. A intensidade da banda fundamental no infravermelho é proporcional ao quadrado da densidade da carga dipolar molecular em relação à densidade normal correspondente a cette bande ( $\chi_{\text{C=C}}$ ).

Os fônticos eletrônicos propostos por Fulai para a molécula isolada foram estendidos ao método de Raman para o CNOO<sub>2</sub>. Por uma análise de regressão, os índices mais significativos foram determinados e relacionados às diversas parcelas de variação do momento dipolar para o estiramento C=C.

A análise das coordenadas moleculares disponíveis na literatura para o estiramento C=C em etileno homobatônico levou-nos a pensar numa função relações linear entre  $\chi_{\text{C=C}}$  e  $\chi_{\text{C=C}}$ , onde  $R$  é a constante de ligação C=C. A análise de correlação revelou que os mesmos índices que foram mais significativos para as parcelas da função apresentaram altos coeficientes de correlação com  $\chi_{\text{C=C}}$  e a análise de regressão formou a relação funcional. De cesta forma temos evidência a nossa suposição, mas vez que  $\chi_{\text{C=C}}$  é obtida pela contribuição de todas as parcelas de C=C. Os valores de  $\mu/\mu_0$  provisórios, mediana e relação linear da análise de regressão, estão dentro do erro experimental.

As equações obtidas pelas análises de regressão refletem o grau de regularidade da ligação dupla e a medida de hidratação de sp<sup>2</sup> para sp<sup>3</sup>, que acompanha as reações de adição à ligação dupla.

**S.C. 2A - 3** CONSTRUÇÃO DE UM CALORÍMETRO PARA O ESTUDO DE PROPRIADES TERMODINÂMICAS DE SOLUÇÕES. Mário Cilense, Assis Vicente Benedicti (Instituto de Química de Araraquara - UNESP); Carlos Alberto Wagner (Aluno de Iniciação a Pesquisas Científica - Instituto de Química de Araraquara - UNESP).

Descreve-se a construção e teste de um calorímetro utilizando compostos encontrados facilmente no comércio, com a finalidade de obter propriedades termodinâmicas das soluções.

Como parte inicial do programa de estudo, fizemos medidas de enalpia de neutralização dos ácidos bórico e clorídrico com hidroxídeo de potássio. As entalpias de neutralização determinadas para os ácidos clorídrico e bórico a 25,000,05°C foram -13,400,05 e -10,210,05 kJ/mol, respectivamente.

Foram resultados obtidos verificando que o calorímetro se presta satisfatoriamente para estudo termodinâmico de reações que envolvem quantidades razoáveis de energia. Presegue-se, no entanto, no momento, desenvolvendo sistemas que dessevolvam pequenas quantidades de calor.

**S.C. 2A - 4** PREPARAÇÃO DE CRONO-51 LIVRE DE CARREGADOR POR IRADIÇÃO DE VÁRIO EM CICLOTRON. José Félix Manfredi, Carol H. Collins e Kenneth E. Collins, Instituto de Química, Universidade Estadual de Campinas.

Foi desenvolvido um método de produção de cromo-51 livre de carregador, pela irradiação de resíduo metálico de alta pureza com prótons de 19 MeV, em ciclotron. O vanádio irradiado foi dissolvido em ácido nítrico e o cromo-51 removido por coprecipitação com hidroxídeo de zinco, submetido a filtração forçada em sistema "Millipore".

O zinco foi removido por cromatografia de trocas aniónicas, em meio clorídrico, enquanto o óxido, adicionado durante a precipitação do hidroxídeo de zinco, pode ser eliminado, em função da descoloração do produto, por trocas catiônicas.

O produto final, cromo-51 na forma de cloreto de cromo (III) em solução clorídrica, foi analisado espectrofotometricamente para determinação de contaminantes inativos, tendo sido submetido à análise radioquímica, em analisador multicanal, para identificação de eventuais contaminantes ativos, formados na irradiação e não eliminados durante o processamento químico.

Os resultados obtidos revelaram a boa eficiência do método, permitindo bom rendimento e alto grau de pureza química e radioquímica, partindo de equipamento e material disponíveis no país.

Apoio financeiro - FAPESP

**S.C. 2A - 5** UM SISTEMA DE SUBLIMAÇÃO FRACIONADA, A VÁCUO, COM GRADIENTE DE TEMPERATURA. (Luiz Fernando L. Guimarães-Departamento de Física e Química da FOFRP-USP e Kenneth E. Collins - Instituto de Química de UNICAMP).

A sublimação é um dos métodos mais usados para a purificação de resistentes ou padrões analíticos, para a secagem das constituintes de uma mistura sólida e para concentração de impurezas de uma substância sólida em fases de traços. Recentemente, vários quelatos metálicos são isolados e purificados com a utilização da sublimação fracionada.

Este estudo teve como principal objetivo a obtenção de um sistema de sublimação fracionada, para podermos obter  $\beta$ -ftailocianinas com um alto grau de pureza.

O sistema de sublimação consiste em um tubo de vidro colocado dentro de um forno, com controle automático de temperatura, e fixado na posição vertical sobre um suporte móvel. Na extremidade superior do tubo temos a saída para a bomba de vácuo e na inferior temos a entrada do fluxo de nitrogênio gásoso ao lado da entrada do temporar, que determina a temperatura no tubo da amostra. Dentro do tubo, na região de maior temperatura do sistema, é colocado um pequeno tubo de ensaio (com um pequeno orifício no fundo) contendo a mistura homogênea da amostra e 12 de quartzo. Acima do tubo de amostra temos um outro tubo de vidro onde cresce os diferentes cristais da amostra devido as regiões com diferentes temperaturas.

Determinamos o gradiente de temperatura do tubo de re-crystalização através de um termopar. Este gradiente foi conseguido isolando o tubo de vidro da parede do forno com fitas de anel de diferentes espessuras.

A eficiência deste sistema tornou-se evidente quando conseguimos a purificação de  $\beta$ -ftailocianina de cobre.

(CNPq - UNICAMP - FOFRP)

-20-

**S.C. 2A - 6** OXIDAÇÃO ELETROQUÍMICA DO FERRO(II) EM DINITRILIFORMAMIDA E CARBONATO DE TETRAZILAMÔNIO. Assis V. Benedicti (Instituto de Química de Araraquara - UNESP), Tiberi Sabachek (Instituto de Química da USP - São Paulo), Luiz Otávio de S. Buhñus (Departamento de Química - UFSCar).

Foi estudada a influência da concentração do eletroólito de suporte (perchlorato de tetrazilamônio) no processo de oxidação eletroquímica do ferroceno em solventes apócrifos utilizando o método da voltamperiometria.

Em concentração de eletroólito de suporte abaixo de 0,2M observou-se uma diferença entre os potenciais de oxidação e redução (aproximadamente 0,2V) e a volatilidade da varenda de potencial (até 0,75 V.<sup>-1</sup>). Entretanto, em concentrações de eletroólito de suporte das ordens de 0,5M e 1M, a volatilidade se eleva (até 0,9V) e a diferença entre o potencial de oxidação e redução da varenda de potencial (0,75 V.<sup>-1</sup>). Estes resultados foram interpretados com base nos raios médios estrutural e solvoldílico.

**S.C. 2B - 1** OXIDAÇÃO ELETROQUÍMICA DO FERRO(II) EM DINITRILIFORMAMIDA E CARBONATO DE TETRAZILAMÔNIO. Assis V. Benedicti (Instituto de Química de Araraquara - UNESP), Tiberi Sabachek (Instituto de Química da USP - São Paulo), Luiz Otávio de S. Buhñus (Departamento de Química - UFSCar).

Foi estudada a influência da concentração do eletroólito de suporte (perchlorato de tetrazilamônio) no processo de oxidação eletroquímica do ferroceno em solventes apócrifos utilizando o método da voltamperiometria.

Em concentração de eletroólito de suporte abaixo de 0,2M observou-se uma diferença entre os potenciais de oxidação e redução (aproximadamente 0,2V) e a volatilidade da varenda de potencial (até 0,75 V.<sup>-1</sup>). Entretanto, em concentrações de eletroólito de suporte das ordens de 0,5M e 1M, a volatilidade se eleva (até 0,9V) e a diferença entre o potencial de oxidação e redução da varenda de potencial (0,75 V.<sup>-1</sup>). Estes resultados foram interpretados com base nos raios médios estrutural e solvoldílico.

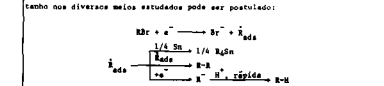
**S.C. 2B - 2** SINTESE ELETROQUÍMICA DO TEOTRALILESTANIO. Milton D. Capelato (Dept. de Física da Universidade Federal de São Carlos), Francisco R. González e Lúcia A. Autuori (Instituto de Física e Química de São Carlos - USP).

Trabalhou uma série de métodos químicos para a preparação de compostos organometálicos de vanadio tem sido empregada há vários anos, apenas recentemente os métodos eletroquímicos de síntese vem despertando interesse uma vez que, através do ajuste adequado dos parâmetros envolvidos no processo eletroquímico, se pode obter rendimentos elevados e um alto grau de seletividade.

Um crescente interesse em relação aos compostos alótropos de estanho tem sido observado uma vez que os mesmos encontram vários campos de aplicações tecnológicas. Até o presente momento, a preparação por métodos eletroquímicos dessa classe de compostos de estanho não foi devidamente abordada. Assim, o objetivo geral do presente trabalho foi o de fornecer um estudo detalhado da síntese eletroquímica do teotralilestano através da redução do brometo de estanho de sobre catódos de estanho em meios apócrifos. Mediante a análise dos efeitos que os diversos parâmetros eletroquímicos envolvidos exercem sobre o rendimento e a distribuição dos produtos eletroquímicos, o curso geral da reação eletroquímica pode ser estabelecido e o mecanismo do processo pode ser postulado.

Empregando uma célula eletroquímica de três compartimentos, foram realizadas experiências de polarização e eletrolyses à potencial controlado de soluções de brometo de estanho (KBr) em acetonitrila (AN) e N,N-dimetilformamida (DMF) empregando o brometo de tetrasilamônio (BTSA) como eletroólito de suporte. Os potenciais do catodo foram medidos com relação a um eletrodo de referência tipo Ag/AgCl em fases gásosas.

A volatilidade das eletroóxides do KBr em AN e DMF produziu reproduzivelmente três produtos principais: tetralilestano (K<sub>2</sub>Sn), 1,5-hexametilo-1,3,5,7-tetrasila-1,3,5,7-tetraestanano (K<sub>2</sub>Sn<sub>2</sub>) e o prazo (K<sub>2</sub>Sn<sub>3</sub>). Os rendimentos coadjuvados foram diretamente influenciados pelos parâmetros eletroquímicos tais como: (i) potencial do eletrodo, (ii) natureza do solvente, (iii) natureza e concentração do eletroólito de suporte e (iv) concentração da espécie eletroquímica. Planejando adequadamente as condições experimentais, obtém-se rendimentos coadjuvados de 3,5% de ordem de 100%. Com base nos resultados obtidos, o mecanismo geral da redução do KBr sobre catódos de estanho nos diversos meios estudados pode ser postulado:



-23-

**S.C. 2B - 3** CORROÇÃO DE ESTANHO EM SUCO DE LARANJA. PARTE 1. S.R. Biaggio, C.V. D'Alkaine (Grupo de Eletroquímica - DQ - UFSCar).

No presente trabalho estuda-se o mecanismo de corrosão de estanho 99,9% em suco de laranja concentrado e diluído, estabelecendo-se qual é a reação catódica que controla a corrosão.

O suco de laranja utilizado é de produção nacional e todos os parâmetros são dados com relação ao eletrodo de referência  $\text{Hg}/\text{Hg}_2\text{Cl}_2$  em solução 1 M de  $\text{NaCl}$ . A temperatura de trabalho é de 26 °C e é dado que as experiências mostram que o suco de laranja concentrado estava desgumado, todos os resultados com suco de laranja diluído referem-se a soluções desgumadas. O equipamento utilizado foi um sistema eletroquímico PA (Princeton Applied Research - 173) e a técnica utilizada foi a voltamperiometria, partindo de potenciais catiônicos, usando uma velocidade de varredura de 1 mV/ $\text{s}^{-1}$ .

Notou-se que a presença de oxigênio, este é lugar de ação, fundamental da corrente catiônica. No âmbito de oxigênio, a reação catiônica é a redução de  $\text{H}^+$ , dando lugar a uma reta de Tafel com inclinação igual a  $0,05 \text{ mV}/\text{pH}$ , para todos os intervalos de diluição estudados (70% a  $0,5\text{M}$  de  $\text{H}_2\text{O}_2$ ). Esta inclinação difere de resultados anteriores,<sup>(1)</sup> e mostra que os problemas de corrosão em meios alimentícios devem ser estudados nas condições mais próximas do real. Demonstra-se também que o sistema real tem capacidade tampon.

A extrapolação das curvas de Tafel ao potencial de repouso permitiu determinar que a corrente de corrosão aumenta linearmente com a diminuição de diluição do suco (diluição de 70% a  $0,5\text{M}$  de  $\text{H}_2\text{O}_2$ ), quando concentrado, 0,64  $\mu\text{A}/\text{cm}^2$ .

As varreduras anodicas mostram dois picos: o primeiro só aparece quando se alcançam zonas anôdicas e corresponde à redução do óxido de estanho, devidamente formado; o segundo pico corresponde à redução do óxido de estanho, de acordo com o trabalho.<sup>(2)</sup> A quantidade de carga envolvida no segundo pico corresponde a uma exposura de óxido entre uma e três camadas, de acordo com o fator de rugosidade utilizado.

De conclusão, a reação catiônica no suco de laranja é a redução de  $\text{H}^+$  e é possível determinar as velocidades de corrosão a partir de extrapolações da reta de Tafel no intervalo de  $-1200$  a  $-1000 \text{ mV}$ .

#### Referências

- (1) C.V. D'Alkaine, S. Esteves - Documentos ao 3º Congresso Latinoamericano de Eletroquímica e Corrosão, p. 403, 1977.
- (2) C.V. D'Alkaine, S. Kapusta - Proceedings of the 7th International Congress on Metallic Corrosion, p. 188/200, 1978.

-24-

**S.C. 2B - 4** SINTESE ELETROQUÍMICA DO TEOTRALILESTANIO.

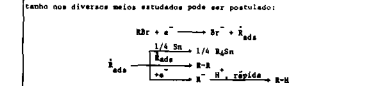
Milton D. Capelato (Dept. de Física da Universidade Federal de São Carlos), Francisco R. González e Lúcia A. Autuori (Instituto de Física e Química de São Carlos - USP).

Trabalhou uma série de métodos químicos para a preparação de compostos organometálicos de vanadio tem sido empregada há vários anos, apenas recentemente os métodos eletroquímicos de síntese vem despertando interesse uma vez que, através do ajuste adequado dos parâmetros envolvidos no processo eletroquímico, se pode obter rendimentos elevados e um alto grau de seletividade.

Um crescente interesse em relação aos compostos alótropos de estanho tem sido observado uma vez que os mesmos encontram vários campos de aplicações tecnológicas. Até o presente momento, a preparação por métodos eletroquímicos dessa classe de compostos de estanho não foi devidamente abordada. Assim, o objetivo geral do presente trabalho foi o de fornecer um estudo detalhado da síntese eletroquímica do teotralilestano através da redução do brometo de estanho de sobre catódos de estanho em meios apócrifos. Mediante a análise dos efeitos que os diversos parâmetros eletroquímicos envolvidos exercem sobre o rendimento e a distribuição dos produtos eletroquímicos, o curso geral da reação eletroquímica pode ser estabelecido e o mecanismo do processo pode ser postulado.

Empregando uma célula eletroquímica de três compartimentos, foram realizadas experiências de polarização e eletrolyses à potencial controlado de soluções de brometo de estanho (KBr) em AN e DMF empregando o brometo de tetrasilamônio (BTSA) como eletroólito de suporte. Os potenciais do catodo foram medidos com relação a um eletrodo de referência tipo Ag/AgCl em fases gásosas.

A volatilidade das eletroóxides do KBr em AN e DMF produziu reproduzivelmente três produtos principais: tetralilestano (K<sub>2</sub>Sn), 1,5-hexametilo-1,3,5,7-tetrasila-1,3,5,7-tetraestanano (K<sub>2</sub>Sn<sub>2</sub>) e o prazo (K<sub>2</sub>Sn<sub>3</sub>). Os rendimentos coadjuvados foram diretamente influenciados pelos parâmetros eletroquímicos tais como: (i) potencial do eletrodo, (ii) natureza do solvente, (iii) natureza e concentração do eletroólito de suporte e (iv) concentração da espécie eletroquímica. Planejando adequadamente as condições experimentais, obtém-se rendimentos coadjuvados de 3,5% de ordem de 100%. Com base nos resultados obtidos, o mecanismo geral da redução do KBr sobre catódos de estanho nos diversos meios estudados pode ser postulado:

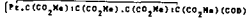




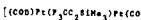
S.C. 2D - 5 REAÇÃO DO BIS (CICLOOCTA-1,3-DIENIL) PLATINA COM ACETILÉTOS. Glisca Herbert M. Dias (IQ-UNICAMP), J.L. Spencer e F.G. A. Stone (Universidade de Bristol - Inglaterra)

O complexo  $Pt(COD)_2$  ( $COD =$  cicloocta-1,3-dienil) é um dos compostos organometálicos da platina (O) mais importantes, em virtude de sua grande reatividade com moléculas orgânicas como acetileno e alifinas.

Reagindo esse complexo com dimetilacetileno dicarboxilato  $C_2(CO_2Me)_2$  resultou no composto:

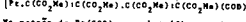


Na reação do  $Pt(COD)_2$  com 1-trifluorometil-2-trimetil-étil acetileno, houve a formação do complexo dímero:

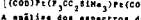


A análise dos espectros de ressonância magnética nuclear ( $^{13}C$ ,  $^{1H}$ ,  $^{19}F$ ) e infravermelha permitiu determinar as estruturas desses complexos.

Reagindo esse complexo com dimetilacetileno dicarboxilato  $C_2(CO_2Me)_2$  resultou no composto:



Na reação do  $Pt(COD)_2$  com 1-trifluorometil-2-trimetil-étil acetileno, houve a formação do complexo dímero:



A análise dos espectros de ressonância magnética nuclear ( $^{13}C$ ,  $^{1H}$ ,  $^{19}F$ ) e infravermelha permitiu determinar as estruturas desses complexos.

S.C. 3A - 4 UM NOVO MÉTODO DE PREPARAÇÃO DE OXISULFETO DE LANTANÍDO DOPADO COM EUROTIO:  $(La_{1-x}Eu_x)_{10}S$ . Fernando T.P. Lellis e Osvaldo Antonio Serra (Dept. de Química FFCLRP-USP).

O oxisulfeto de terras raras dopados com Europio, p.ex.  $La_{0.95}Eu_{0.05}S$ , apresentam uma intensa propriedade fluorescência vermelha ao serem excitados em ultra-violeta. Além deste fato, possuem um alto brilho, têm um curto tempo de decaimento e possuem uma grande estabilidade quando imregnados em polivinil álcool; por isto são usados como o componente vermelho nas telas de TV a cores.

Industrialmente os Oxisulfetos de terras raras são preparados fazendo-se reagir os óxidos com  $H_2S$  (geralmente diluído em um gás inerte, como argônio, na proporção de 5:95), à uma temperatura em torno de  $1100^{\circ}C$ :



O que estamos tentando, é fazer reagir uma outra solução que não se de óxidos, para a produção de oxisulfeto. A vantagem deste novo método é que à temperaturas elevadas, estas soluções sólidas podem se decompor produzindo a de óxidos, por ex: a solução sólida de oxalatos ao ser aquecida produz a solução sólida de óxidos.

Como trabalhamos sempre em um atmosfera inerte, tivemos que construir um forno adequado, que atingisse temperaturas entre  $1100^{\circ}C$  -  $1200^{\circ}C$  e fosse de baixo custo.

Basicamente realizamos dois tipos de síntese:

- Vapor de S arastado por Ar passando sobre a mistura de S + oxalatos no interior do forno.
- Ident. ao ser o vapor S.

Variando a temperatura e o tempo de aquecimento.

Até onde a espectroscopia de infra-vermelho, pode-se constatar a formação, ou não, de oxisulfetos juntamente com os oxisulfetos. Análises químicas forneceram a composição das misturas. Entre os vários materiais sintetizados, alguns correspondem à formulação de oxisulfeto e possuem fluorescência, por excitação no ultra-violeta, bastante intensa. O estudo para melhorar as condições de síntese prossegue em nossos laboratórios.

S.C. 3A - 2 COMPLEXOS DE LANTANÍDOS CONTENDO ETILIDIFENILOFOSFINATO COMO LIGANTE. A.M. Galindo Massabni, E. Berwirth Stuchi, M. Souza\* (Instituto de Química de Araçatuba-UNESP).

O estudo sistemático de complexos de terras raras, com ligantes oxigenados tem sido extensivamente desenvolvido nos últimos 20 anos, em particular o comportamento químico destes metais é muito bem determinado.

O que até ser observado, entretanto, é que as condições efeitos e pertencentes ao sistema de formação destes complexos extrêmamente rápida e os métodos experimentais disponibilizados permitem acompanhar a formação de complexos hidrossolúveis, cujas soluções aquosas, cujas ionas possuem boa capacidade coordenante que podem competir com o ligante dando origem a diversas espécies ou mesmo polímeros.

Neste sentido damos ênfase a síntese de duas séries de compostos contendo como íonias clorato e perclorato, cujas diferenças nas suas características coordenantes permitem um estudo comparativo.

A obtenção dos percloratos é feita através da mistura de solutos e de um excesso de perclorato de sódio, em um recipiente de cristais. Nas mesmas condições não é possível isolar os cloratos, provavelmente devido a maior solubilidade destes compostos.

Assim os complexos em diversos solventes e obtenção das cloratos só foi possível usando dinatras, mas com dificuldades, pois é desejável obter soluções claras e homogêneas, e nos complexos isolados observou-se a coordenação de moléculas de solvente.

O iodato assim obtido apresenta características de material amorfico e com ligero aquecimento sofre modificações em seu aspecto, sugerindo parcial desolvatação do solvente.

O resultado final é a formação de complexos hidrossolúveis, cuja estrutura é caracterizada por forte formação de ligações covalentes, e que pode ser constatada com deslocamento de ordem de  $40^{\circ}C$ .

Os percloratos e iodatos mostraram-se altamente solúveis em clorato e com hidroclorato, em soluções de nitroetanato.

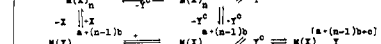
\* PAPESP

S.C. 3A - 3 UTILIZAÇÃO DA EQUAÇÃO DE SmOLUCHOWSKI E EIGEN-PUESS NO ESTUDO DE MECANISMOS DE REAÇÕES DE SUBSTITUIÇÃO. Alcir A. Batista (UFSCar) e Henrique E. Toma (USP).

Mecanismos de reações envolvendo espécies carregadas podem ser representados como:



no qual se aplica o esquema dissociativo elaborado por Eigen,



- X  $\rightleftharpoons$  a  $\rightleftharpoons$  b  $\rightleftharpoons$  c  $\rightleftharpoons$  d  $\rightleftharpoons$  e  $\rightleftharpoons$  f  $\rightleftharpoons$  g  $\rightleftharpoons$  h  $\rightleftharpoons$  i  $\rightleftharpoons$  j  $\rightleftharpoons$  k  $\rightleftharpoons$  l  $\rightleftharpoons$  m  $\rightleftharpoons$  n  $\rightleftharpoons$  o  $\rightleftharpoons$  p  $\rightleftharpoons$  q  $\rightleftharpoons$  r  $\rightleftharpoons$  s  $\rightleftharpoons$  t  $\rightleftharpoons$  u  $\rightleftharpoons$  v  $\rightleftharpoons$  w  $\rightleftharpoons$  x  $\rightleftharpoons$  y  $\rightleftharpoons$  z

Nas reações onde a entrada do ligante na esfera interna de coordenação é menor que a saída de ligante por difusão, as constantes de velocidade podem ser descritas pela equação de Smoluchowski corrigida pelos efeitos interionicos,

$$k_{dif} = k_{dif}^0 \frac{s}{e^2 - 1} \quad (1) \quad s = \frac{u(a)}{kT} = \frac{k^2}{4 \cdot kT \cdot a(1-e^{-a})} \quad (2)$$

$e = \frac{8 \cdot \pi \cdot R^2 \cdot N_A}{10^3 \cdot k^2 \cdot T} \quad (3)$

No caso de formação de complexo de esfera externa, a constante de formação do complexo pode ser avaliada pela equação de Eigen-Puess,

$$k_{f,0} = \frac{4 \cdot \pi \cdot R^2 \cdot N_A}{10^3 \cdot k^2 \cdot T} \cdot e^{-u(a)/kT} \quad (4)$$

onde  $U(a)$  é o potencial interativo de Debye-Hückel (eq. 2).

Nossa tentativa de verificar a aplicabilidade das equações (1) e (4) é identificar os mecanismos de reação de ligantes que apresentam assimetria de carga forma estudadas as reações de formação de complexos de cianoferratos com aminoácidos (neutro) como a arginina, (mononegativa) tais como triptofano, fenilalanina, lisina, glicina, serina, alanina, lisina e cisteína (negativa) e cianoferrato ciano (positivo) ( $[Fe(CN)_6]^{4-}$ ).

As constantes de velocidade ( $k_{dif}^0$ ) e ( $k_{f,0}$ ) ( $m^2 \cdot mol^{-1} \cdot s^{-1}$ ) obtidas através da técnica stopped-flow ( $\mu$ l/min.  $\mu$ l/min.  $\mu$ l/min.) foram: arginina (96, 61, -4); triptofano (15, 61, -13); fenilalanina (20, 61, -11); lisina (28, 61, -11); alanina (60, 61, -13); lisina (150, 59, -5); tirosina (9, 66, -3); cistina (38, 65, 11); glutato (50, 65, -8).

Os dados obtidos indicam que a velocidade de formação depende da densidade de carga em relação ao ponto de coordenação com o ion metálico, em maior extensão que a carga total do ligante e que o mecanismo por iônico-dissociativo ajusta-se melhor ao processo de substituição nas reações dos aminoácidos com o íon pentaciano ferro(II).

FINEP-CNPq

S.C. 3B - 1 DETERMINAÇÃO DE CONFIGURAÇÃO DE  $\alpha$ -METILENO- $\gamma$ -BUTIROLACTONAS\*. Timothy J. Brockmeier e J. Tercio B. Ferreira (IQ-UNICAMP).

As lactonas sesquiterpénicas possuem ampla atividade biológica e sua indumento, recorrendo à estrutura e afinidade parcial ou total com bacteias estudadas na Síntese díssida. A estrutura geral destas terpenoide apresenta uma  $\alpha$ -metileno- $\gamma$ -butirolactona unida a um anel carbocíclico de 6, 7 ou 10 carbonos, ou duas possíveis modificações ( $\alpha,\beta$ -trans).

A determinação desta configuração relativa tem sido feita por várias métodos físicos e químicos, geralmente laboratorios ou as vezes inapropriados. Sugere-se um método simples para tal determinação usando espetroscopia de Resonância Magnética Nuclear ( $^{13}C-NMR$ ) quando a lactona é fundida a um anel de 6 carbonos.

Foram analisados 57 espetros de  $^{13}C-NMR$  das lactonas dos grupos sesquiterpénicos, secundarimônolicos, cianolípidicos e compostos modelos onde a configuração relativa é conhecida com bastante segurança. Especificamente analisaram-se deslocamentos quânticos e de hidrogênios ligados a 2 carbonos envolvidos na fusão do anel anílio (denominados de hidrogeno carbônico e hidrogeno alílico). No primeiro lugar analisaram-se compostos com outra função próxima a fusão do anel e obtiveram as seguintes conclusões:

1. As lactonas com hidrogenos carbônicos alílicos que apresentam sinais em  $3,95 \pm 0,20$ , com deslocamentos grandes (axial-axial de 10-12 Hz) claramente definidos.

2. As lactonas com hidrogenos alílicos axiais que apresentam sinais em  $2,55 \pm 0,05$ , ou não se deslocam fora do envelope alílico abuso de 6, 2, 6.

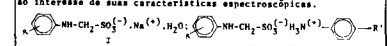
3. As lactonas com hidrogenos carbônicos equatoriais que apresentam sinais em  $6,45 \pm 0,15$ , com multipletes mal definidos de deslocamentos pequenos.

4. As lactonas com hidrogenos alílicos axiais que apresentam sinais em  $3,00 \pm 0,15$  como multipletes largos (extensão de  $\sim 0.05\Delta$ ).

Baseando-nos nestes resultados foi possível calcular os deslocamentos de hidrogenos quânticos provocados por funções alílicas, acicato e olefina situadas em volta da junção dos anéis. Estes resultados serão apresentados com as aplicações apropriadas, bem como as aplicações na determinação de configuração de cianolípidos-butirilactonas síntheticas.

S.C. 3B - 2 ANÁLISE DOS DERIVADOS AMIS: AMIS-A E AMIS-T POR ESPECTROMETRIA DE MASSA E CHROMATOGRAFIA GASOSA. Robert A.M.C. De Groot: Miguel G. Neumann (Instituto de Física e Química de São Carlos - USP).

Foram sintetizadas as séries AMIS(I): AMIS-A(II) e AMIS-T(III) devido ao interesse de suas características espectroscópicas.



Estas séries permitem um estudo simples da frequência de estiramento da amida secundária na região do infra-vermelho em contraste com as dificuldades encontradas na série parental (AMIS, I), no qual se observa bandas de estiramento O-H na mesma região de frequência. Por Espectrometria de Massa os derivados AMIS: AMIS-A e AMIS-T apresentam um esquema de fragmentação comum sendo que as rupturas principais correspondem à quebra da ligação N-C levando a amidas(s) primária(s) e a ruptura da ligação C-S levando à base de Schiff.

No caso dos derivados AMIS-A e AMIS-T o processamento da amostra por espectrometria de massa deve ser efetuado a temperatura baixa ( $40^{\circ}\text{C}$ ) uma vez que perto ou acima do ponto de fusão ( $120-140^{\circ}\text{C}$ ) ocorre uma decomposição prévia das moléculas o que é demonstrado pelo aparecimento de fragmentos correspondentes a diéteras da base de Schiff resultante da ruptura da ligação C-S.

De outro lado um estudo por Cromatografia Gasosa dos derivados AMIS, AMIS-A e AMIS-T mostra que os compostos sofram uma degradação na coluna ( $180^{\circ}\text{C}$ ) ou no injetor levando à(s) amínia(s) e aos produtos decorrentes da formação da base de Schiff.

FINEP 022/79  
CNPq 30.0270/78-QU-7

S.C. 3B - 3 EXTRACÇÃO RÁPIDA E ECONÔMICA DE PESTICÍDIOS ORGÂNICOS EM LEITE. A.R. De Aquino, M.L. Ribeiro, L.M.V. Travassos, M.C. Queiroz e M.A. Frólio (Instituto de Química de Araraquara - UNESP).

Químicos envolvendo contaminação de alimentos por agrotóxicos têm usado das publicações científicas para os meios de comunicação de massa, seja como jornais, revistas, rádio, televisão, etc. Como consequência, os profissionais que lidam com alimentos, muitas vezes, não escutam que "não existe um malefício que possa causar à saúde".

Os alimentos contêm agrotóxicos. Araraquara é centro produtor de leite e é considerado o maior produtor de leite da América Latina.

Este trabalho é destinado ao estudo da contaminação de leite em Araraquara e ao desenvolvimento de um método de extração de agrotóxicos.

Este trabalho é dividido em três partes: 1) Estudo da contaminação de leite em Araraquara; 2) Desenvolvimento de um método de extração de agrotóxicos.

Os resultados qualitativos indicam a presença das ligações do DDT (dibutiltetrafenilmetano), hexachloroetano, pentachloroetano, etc.

No leite pasteurizado tipo B e "Especial" de diferentes marcas, em lei

in natura, assim como em diversos tipos de leite em pó. A  $10^{-3}$  ppm de agrotóxicos presentes nestas amostras está sendo detectada.

O objetivo deste trabalho é a busca de metodologia adequada à realidade econômica brasileira e não apenas a realização de análises rotineiras de alimentos.

(1) Weisser, D. e Agnerup, H. - "Economic Method for Analysis of Pesticides in Milk" in: Organochlorine Pesticides at the 10 ppb Level. J. Assoc. Off. Anal. Chem., Bd. 53, 532 (1970).

(2) Lobo, W.H. - "Determinação de Residuos de Pesticídios Orgânicos Fazida em Alimentos". Rev. Inst. Adolfo Lutz, 31, 125 (1971).



S.C. 44 - 1 ESTRUTURA DO ANÔDIO 1-TENIL-3,5-DIMETILPIRAZOL, H<sub>3</sub>N<sup>+</sup> - J. Zukerman Schecter, E.F. Castellano (Instituto de Física e Química de São Carlos-USP); A.C. Massahmi & Aderll Pinto (Instituto de Química de Araçatuba-UNESP).

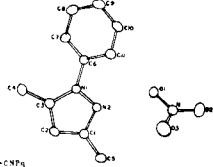
C<sub>11</sub>H<sub>13</sub>N<sup>+</sup>, massa核算: C<sub>11</sub>H<sub>12</sub>N<sup>+</sup> (170,2), calcd.: 170,16 R<sub>2</sub>: 0,42, C<sub>11</sub>H<sub>12</sub>N<sup>+</sup> (170,2), calcd.: 170,16 R<sub>2</sub>: 0,42, C<sub>11</sub>H<sub>12</sub>N<sup>+</sup> (170,2), calcd.: 170,16 R<sub>2</sub>: 0,42.

O 1-tenil-3,5-dimetilpirazol (I) pode ser obtido por: a) utilização de reagentes orgânicos que contêm enxofre ou enxofre e carbono (R-S-C(=O)-R'); b) reação entre ácidos carboxílicos e pirazolos; c) reação entre enxofre e carbono e pirazolos.

O anôdio 1-tenil-3,5-dimetilpirazol (I) tem sido usado para sintetizar compostos de interesse biológico. Ele é um líquido incolor, que forma se adiona com ácido nítrico. A solução alcóolica forma-se um precipitado amarelo que dissolve-se em diluição. O anôdio 1-tenil-3,5-dimetilpirazol (I) é um composto que deve ter ação biológica determinante: a) a natureza da interação com o receptor determinante; b) a conformação da molécula de prato, para a comparação com outras estruturas de anôdios de pirazolos que já foram descritas; c) a ação do caráter aromático do anel pirazólico e mantido.

Utilizando um difrasómetro CAD-1 Inraf-Monius foram medidas 1550, 1450, 1350, 1250, 1150, 1050, 950, 850, 750, 650, 550 e 450 nm, foram utilizadas para resolver a estrutura. A estrutura foi resolvida por métodos diretos e refinada por mínimos quadrados. O resultado final da estrutura é mostrado na figura para a refiação das estruturas e a  $\Delta\theta = 0,0$  para todas as reflexões.

O anôdio 1-benzólico e pirazólico e o anôdio 1-N<sub>3</sub> planos dentro dos respectivos anéis pirazólicos. No entanto, o anôdio 1-tenil-3,5-dimetilpirazol (I) não é plano, e a distância N(2)-C(1) é de 2,485 Å, e a distância N(2)-C(3) é de 1,379 Å e a distância N(2)-C(5) é de 1,381 Å. As distâncias N(2)-C(1) e N(2)-C(3) são maiores que as distâncias N(2)-C(1) e N(2)-C(5). O anôdio 1-tenil-3,5-dimetilpirazol (I) é mais polar do que o anôdio 1-tenil, que indica que o anel pirazólico ainda mantém seu caráter aromático.



O.T.A.-PAFESP-BID FINEP-CNPq

-54-

#### S.C. 44 - 2 DIFERENÇA DE PESO DA PIRACINA

Maria do Carmo Alves D'Orsi, Joseph Miller. (Instituto de Química-USP)

Como parte de um estudo de efeitos eletroâmicos e eletrofônicos sobre a ressonância de piracina, foram obtidos alcolinas nas suas reações com cloreto de fenacila em solvente etanol. Na tabela abaixo constam os valores de kg (constante bimolecular de reação - 1.rol. -  $\text{M}^2$ ) à 100 °C.

Substrato: Cloreto de Fenacila

mina	Piracina	2'-picolina	3-picolina	4-picolina
0,3 kg	1,19	reação bem mais lenta, excepto -	2,22	2,22

Estes resultados mostram o fraco efeito doador do grupo metila de caráter induutivo nas descrições das propriedades 3 e 4. A baixa reatividade da 2-picolina mostra claramente um efeito desterizante. Na apresentação amplaremos os dados cinéticos e compararemos os resultados com dados disponíveis para outros reagentes.

Trabalho financiado por: CNPq

-55-

#### S.C. 44 - 3 ESTUDOS DE EFEITOS CONFORMACIONAIS NA GERAÇÃO DE ESTADOS EXCITADOS PELA PEROXIDASE.

Nelson Durán\*, Jaime Basca, Juaniita Frear, Edmundo Garcés e Carlos Bruhn.

Instituto de Química, Universidade Estadual de Campinas, C.P. 1170, Campinas, SP, Brasil e Instituto de Química, Universidade de Concepción, Casilla 3-C, Concepción, Chile.

Os estudos de geração de estados excitados em sistemas biológicos têm sido amplamente desenvolvido em nossos laboratórios (Clement, Accounts. Chem. Res. 13, 225 (1980); Durán e Cíntio, Photochim. Photobiol. 32, 113 (1980)). Conhecendo que a atividade da peroxidase aumenta na presença de dimetilsulfônido (DMSO) Hamler, Ann. N.Y. Acad. Sci. 141, 29 (1967), foi estudo o efeito desse solvente na produção de estados excitados. O modelo utilizado foi imidotetraaldeído de peroxidase (Peschers et al., Photochim. Photobiol. 30, 101 (1979)), já que é conhecido produzir acetona tripla protegida de desativação por oxigênio no sítio ativo da enzima. Os resultados obtidos medindo a atividade de peroxidase através de consumo de oxigênio mostraram um aumento de 10% da atividade com concentrações de DMSO entre 1-4 e uma pequena diminuição entre 20-30%. Entretanto, encontrou-se uma liberação drástica na produção de estados excitados nessas concentrações de DMSO. Estudos de expressão de acetona tripla gerados pelo modelo citrato, tetrametossianano, com DMSO indicam que a inibição não é devida a processos colisionais de DMSO com acetona. Estudos com dicloro e círculo mostraram efeitos de mudanças conformativas na peroxidase a diferentes concentrações de DMSO.

Isto implica que a peroxidase sofre uma modificação conformational durante o sítio ativo mais exposto, o que permite que oxigênio de meio provoque esta inibição.

São discutidas em detalhes as propriedades do sítio ativo da peroxidase em termos conformativos.

Trabalho financiado por: FINEP, CNPq, PAPESP, e UNESCO (BRAZIL); Vice-rectoría de Investigaciones-Universidad de Concepción e CINDA (Chile); Convención Universidad de Concepción-Chile/UNICAMP-Brasil.

-56-

S.C. 44 - 4 CICLOADIÇÃO (2+2) ENTRE INÓDOS E ACETILENODICARBOXILATO DE DIETÍLICO (DMAD) - J. Augusto R. Rodrigues e Lídia I. Verardo (Instituto de Química de Unicamp).

A reação entre inódios e acetilenodicarboxilato de dietílico (DMAD) tem sido muito estudada em razão da variedade de compostos que se obtém (para uma revisão ver: J. Org. Chem. 43, 1818 (1978)). Quando o inódio é tratado com DMAD, o resultado é o benzotetrapropeno que se considera como proveniente da decomposição de um ciclobuteno inicialmente formado, e que rapidamente se rearranja. Recentemente, a reação entre inódios e acetilenodicarboxilatos de alquila e arilo tem sido realizada através da reação fotoexcitada adutora ciclobutenólica. Outros autores mostraram que o inódio é um líquido incolor, que forma-se quando se adiciona ácido nítrico. A solução alcóolica, formando um precipitado amarelo que dissolve-se em diluição. A reação é de natureza determinante: a) a natureza da interação de DMSO-HNO<sub>3</sub>; b) a conformação da molécula de prato, para a comparação com outras estruturas de inódios de pirazolos que já foram descritas; c) a ação do caráter aromático do anel pirazólico e mantido.

Utilizando um difrasómetro CAD-1 Inraf-Monius foram medidas 1550, 1450, 1350, 1250, 1150, 1050, 950, 850, 750, 650, 550 e 450 nm, foram utilizadas para resolver a estrutura. A estrutura foi resolvida por métodos diretos e refinada por mínimos quadrados. O resultado final da estrutura é mostrado na figura para a refiação das estruturas e a  $\Delta\theta = 0,0$  para todas as reflexões.

O anôdio benzólico e pirazólico e o anôdio 1-N<sub>3</sub> planos dentro dos respectivos anéis pirazólicos. No entanto, o anôdio 1-tetralinyl-3,5-dimetilpirazol (I) não é plano, e a distância N(2)-C(1) é de 2,485 Å, e a distância N(2)-C(3) é de 1,379 Å e a distância N(2)-C(5) é de 1,381 Å. As distâncias N(2)-C(1) e N(2)-C(3) são maiores que as distâncias N(2)-C(1) e N(2)-C(5). O anôdio 1-tetralinyl-3,5-dimetilpirazol (I) é mais polar do que o anôdio 1-tetralinyl, que indica que o anel pirazólico ainda mantém seu caráter aromático.

O anôdio de coroa, entre os dois anôdios, correspondentes à formação de menor energia de Van der Waals, foi calculado com o uso de um procedimento de minimização de energia.

O anôdio 1-tetralinyl-3,5-dimetilpirazol (I) tem sido usado para sintetizar compostos de interesse biológico. Ele é um líquido incolor, que forma-se quando se adiciona ácido nítrico. A solução alcóolica, formando um precipitado amarelo que disslove-se em diluição. A reação é de natureza determinante: a) a natureza da interação de DMSO-HNO<sub>3</sub>; b) a conformação da molécula de prato, para a comparação com outras estruturas de inódios de pirazolos que já foram descritas; c) a ação do caráter aromático do anel pirazólico e mantido.

Utilizando um difrasómetro CAD-1 Inraf-Monius foram medidas 1550, 1450, 1350, 1250, 1150, 1050, 950, 850, 750, 650, 550 e 450 nm, foram utilizadas para resolver a estrutura. A estrutura foi resolvida por métodos diretos e refinada por mínimos quadrados. O resultado final da estrutura é mostrado na figura para a refiação das estruturas e a  $\Delta\theta = 0,0$  para todas as reflexões.

O anôdio benzólico e pirazólico e o anôdio 1-N<sub>3</sub> planos dentro dos respectivos anéis pirazólicos. No entanto, o anôdio 1-tetralinyl-3,5-dimetilpirazol (I) não é plano, e a distância N(2)-C(1) é de 2,485 Å, e a distância N(2)-C(3) é de 1,379 Å e a distância N(2)-C(5) é de 1,381 Å. As distâncias N(2)-C(1) e N(2)-C(3) são maiores que as distâncias N(2)-C(1) e N(2)-C(5). O anôdio 1-tetralinyl-3,5-dimetilpirazol (I) é mais polar do que o anôdio 1-tetralinyl, que indica que o anel pirazólico ainda mantém seu caráter aromático.

O anôdio de coroa, entre os dois anôdios, correspondentes à formação de menor energia de Van der Waals, foi calculado com o uso de um procedimento de minimização de energia.

O anôdio 1-tetralinyl-3,5-dimetilpirazol (I) tem sido usado para sintetizar compostos de interesse biológico. Ele é um líquido incolor, que forma-se quando se adiciona ácido nítrico. A solução alcóolica, formando um precipitado amarelo que disslove-se em diluição. A reação é de natureza determinante: a) a natureza da interação de DMSO-HNO<sub>3</sub>; b) a conformação da molécula de prato, para a comparação com outras estruturas de inódios de pirazolos que já foram descritas; c) a ação do caráter aromático do anel pirazólico e mantido.

Utilizando um difrasómetro CAD-1 Inraf-Monius foram medidas 1550, 1450, 1350, 1250, 1150, 1050, 950, 850, 750, 650, 550 e 450 nm, foram utilizadas para resolver a estrutura. A estrutura foi resolvida por métodos diretos e refinada por mínimos quadrados. O resultado final da estrutura é mostrado na figura para a refiação das estruturas e a  $\Delta\theta = 0,0$  para todas as reflexões.

O anôdio benzólico e pirazólico e o anôdio 1-N<sub>3</sub> planos dentro dos respectivos anéis pirazólicos. No entanto, o anôdio 1-tetralinyl-3,5-dimetilpirazol (I) não é plano, e a distância N(2)-C(1) é de 2,485 Å, e a distância N(2)-C(3) é de 1,379 Å e a distância N(2)-C(5) é de 1,381 Å. As distâncias N(2)-C(1) e N(2)-C(3) são maiores que as distâncias N(2)-C(1) e N(2)-C(5). O anôdio 1-tetralinyl-3,5-dimetilpirazol (I) é mais polar do que o anôdio 1-tetralinyl, que indica que o anel pirazólico ainda mantém seu caráter aromático.

O anôdio de coroa, entre os dois anôdios, correspondentes à formação de menor energia de Van der Waals, foi calculado com o uso de um procedimento de minimização de energia.

O anôdio 1-tetralinyl-3,5-dimetilpirazol (I) tem sido usado para sintetizar compostos de interesse biológico. Ele é um líquido incolor, que forma-se quando se adiciona ácido nítrico. A solução alcóolica, formando um precipitado amarelo que disslove-se em diluição. A reação é de natureza determinante: a) a natureza da interação de DMSO-HNO<sub>3</sub>; b) a conformação da molécula de prato, para a comparação com outras estruturas de inódios de pirazolos que já foram descritas; c) a ação do caráter aromático do anel pirazólico e mantido.

Utilizando um difrasómetro CAD-1 Inraf-Monius foram medidas 1550, 1450, 1350, 1250, 1150, 1050, 950, 850, 750, 650, 550 e 450 nm, foram utilizadas para resolver a estrutura. A estrutura foi resolvida por métodos diretos e refinada por mínimos quadrados. O resultado final da estrutura é mostrado na figura para a refiação das estruturas e a  $\Delta\theta = 0,0$  para todas as reflexões.

O anôdio benzólico e pirazólico e o anôdio 1-N<sub>3</sub> planos dentro dos respectivos anéis pirazólicos. No entanto, o anôdio 1-tetralinyl-3,5-dimetilpirazol (I) não é plano, e a distância N(2)-C(1) é de 2,485 Å, e a distância N(2)-C(3) é de 1,379 Å e a distância N(2)-C(5) é de 1,381 Å. As distâncias N(2)-C(1) e N(2)-C(3) são maiores que as distâncias N(2)-C(1) e N(2)-C(5). O anôdio 1-tetralinyl-3,5-dimetilpirazol (I) é mais polar do que o anôdio 1-tetralinyl, que indica que o anel pirazólico ainda mantém seu caráter aromático.

O anôdio de coroa, entre os dois anôdios, correspondentes à formação de menor energia de Van der Waals, foi calculado com o uso de um procedimento de minimização de energia.

O anôdio 1-tetralinyl-3,5-dimetilpirazol (I) tem sido usado para sintetizar compostos de interesse biológico. Ele é um líquido incolor, que forma-se quando se adiciona ácido nítrico. A solução alcóolica, formando um precipitado amarelo que disslove-se em diluição. A reação é de natureza determinante: a) a natureza da interação de DMSO-HNO<sub>3</sub>; b) a conformação da molécula de prato, para a comparação com outras estruturas de inódios de pirazolos que já foram descritas; c) a ação do caráter aromático do anel pirazólico e mantido.

Utilizando um difrasómetro CAD-1 Inraf-Monius foram medidas 1550, 1450, 1350, 1250, 1150, 1050, 950, 850, 750, 650, 550 e 450 nm, foram utilizadas para resolver a estrutura. A estrutura foi resolvida por métodos diretos e refinada por mínimos quadrados. O resultado final da estrutura é mostrado na figura para a refiação das estruturas e a  $\Delta\theta = 0,0$  para todas as reflexões.

O anôdio benzólico e pirazólico e o anôdio 1-N<sub>3</sub> planos dentro dos respectivos anéis pirazólicos. No entanto, o anôdio 1-tetralinyl-3,5-dimetilpirazol (I) não é plano, e a distância N(2)-C(1) é de 2,485 Å, e a distância N(2)-C(3) é de 1,379 Å e a distância N(2)-C(5) é de 1,381 Å. As distâncias N(2)-C(1) e N(2)-C(3) são maiores que as distâncias N(2)-C(1) e N(2)-C(5). O anôdio 1-tetralinyl-3,5-dimetilpirazol (I) é mais polar do que o anôdio 1-tetralinyl, que indica que o anel pirazólico ainda mantém seu caráter aromático.

O anôdio de coroa, entre os dois anôdios, correspondentes à formação de menor energia de Van der Waals, foi calculado com o uso de um procedimento de minimização de energia.

O anôdio 1-tetralinyl-3,5-dimetilpirazol (I) tem sido usado para sintetizar compostos de interesse biológico. Ele é um líquido incolor, que forma-se quando se adiciona ácido nítrico. A solução alcóolica, formando um precipitado amarelo que disslove-se em diluição. A reação é de natureza determinante: a) a natureza da interação de DMSO-HNO<sub>3</sub>; b) a conformação da molécula de prato, para a comparação com outras estruturas de inódios de pirazolos que já foram descritas; c) a ação do caráter aromático do anel pirazólico e mantido.

Utilizando um difrasómetro CAD-1 Inraf-Monius foram medidas 1550, 1450, 1350, 1250, 1150, 1050, 950, 850, 750, 650, 550 e 450 nm, foram utilizadas para resolver a estrutura. A estrutura foi resolvida por métodos diretos e refinada por mínimos quadrados. O resultado final da estrutura é mostrado na figura para a refiação das estruturas e a  $\Delta\theta = 0,0$  para todas as reflexões.

O anôdio benzólico e pirazólico e o anôdio 1-N<sub>3</sub> planos dentro dos respectivos anéis pirazólicos. No entanto, o anôdio 1-tetralinyl-3,5-dimetilpirazol (I) não é plano, e a distância N(2)-C(1) é de 2,485 Å, e a distância N(2)-C(3) é de 1,379 Å e a distância N(2)-C(5) é de 1,381 Å. As distâncias N(2)-C(1) e N(2)-C(3) são maiores que as distâncias N(2)-C(1) e N(2)-C(5). O anôdio 1-tetralinyl-3,5-dimetilpirazol (I) é mais polar do que o anôdio 1-tetralinyl, que indica que o anel pirazólico ainda mantém seu caráter aromático.

O anôdio de coroa, entre os dois anôdios, correspondentes à formação de menor energia de Van der Waals, foi calculado com o uso de um procedimento de minimização de energia.

O anôdio 1-tetralinyl-3,5-dimetilpirazol (I) tem sido usado para sintetizar compostos de interesse biológico. Ele é um líquido incolor, que forma-se quando se adiciona ácido nítrico. A solução alcóolica, formando um precipitado amarelo que disslove-se em diluição. A reação é de natureza determinante: a) a natureza da interação de DMSO-HNO<sub>3</sub>; b) a conformação da molécula de prato, para a comparação com outras estruturas de inódios de pirazolos que já foram descritas; c) a ação do caráter aromático do anel pirazólico e mantido.

Utilizando um difrasómetro CAD-1 Inraf-Monius foram medidas 1550, 1450, 1350, 1250, 1150, 1050, 950, 850, 750, 650, 550 e 450 nm, foram utilizadas para resolver a estrutura. A estrutura foi resolvida por métodos diretos e refinada por mínimos quadrados. O resultado final da estrutura é mostrado na figura para a refiação das estruturas e a  $\Delta\theta = 0,0$  para todas as reflexões.

O anôdio benzólico e pirazólico e o anôdio 1-N<sub>3</sub> planos dentro dos respectivos anéis pirazólicos. No entanto, o anôdio 1-tetralinyl-3,5-dimetilpirazol (I) não é plano, e a distância N(2)-C(1) é de 2,485 Å, e a distância N(2)-C(3) é de 1,379 Å e a distância N(2)-C(5) é de 1,381 Å. As distâncias N(2)-C(1) e N(2)-C(3) são maiores que as distâncias N(2)-C(1) e N(2)-C(5). O anôdio 1-tetralinyl-3,5-dimetilpirazol (I) é mais polar do que o anôdio 1-tetralinyl, que indica que o anel pirazólico ainda mantém seu caráter aromático.

O anôdio de coroa, entre os dois anôdios, correspondentes à formação de menor energia de Van der Waals, foi calculado com o uso de um procedimento de minimização de energia.

O anôdio 1-tetralinyl-3,5-dimetilpirazol (I) tem sido usado para sintetizar compostos de interesse biológico. Ele é um líquido incolor, que forma-se quando se adiciona ácido nítrico. A solução alcóolica, formando um precipitado amarelo que disslove-se em diluição. A reação é de natureza determinante: a) a natureza da interação de DMSO-HNO<sub>3</sub>; b) a conformação da molécula de prato, para a comparação com outras estruturas de inódios de pirazolos que já foram descritas; c) a ação do caráter aromático do anel pirazólico e mantido.

Utilizando um difrasómetro CAD-1 Inraf-Monius foram medidas 1550, 1450, 1350, 1250, 1150, 1050, 950, 850, 750, 650, 550 e 450 nm, foram utilizadas para resolver a estrutura. A estrutura foi resolvida por métodos diretos e refinada por mínimos quadrados. O resultado final da estrutura é mostrado na figura para a refiação das estruturas e a  $\Delta\theta = 0,0$  para todas as reflexões.

O anôdio benzólico e pirazólico e o anôdio 1-N<sub>3</sub> planos dentro dos respectivos anéis pirazólicos. No entanto, o anôdio 1-tetralinyl-3,5-dimetilpirazol (I) não é plano, e a distância N(2)-C(1) é de 2,485 Å, e a distância N(2)-C(3) é de 1,379 Å e a distância N(2)-C(5) é de 1,381 Å. As distâncias N(2)-C(1) e N(2)-C(3) são maiores que as distâncias N(2)-C(1) e N(2)-C(5). O anôdio 1-tetralinyl-3,5-dimetilpirazol (I) é mais polar do que o anôdio 1-tetralinyl, que indica que o anel pirazólico ainda mantém seu caráter aromático.

O anôdio de coroa, entre os dois anôdios, correspondentes à formação de menor energia de Van der Waals, foi calculado com o uso de um procedimento de minimização de energia.

O anôdio 1-tetralinyl-3,5-dimetilpirazol (I) tem sido usado para sintetizar compostos de interesse biológico. Ele é um líquido incolor, que forma-se quando se adiciona ácido nítrico. A solução alcóolica, formando um precipitado amarelo que disslove-se em diluição. A reação é de natureza determinante: a) a natureza da interação de DMSO-HNO<sub>3</sub>; b) a conformação da molécula de prato, para a comparação com outras estruturas de inódios de pirazolos que já foram descritas; c) a ação do caráter aromático do anel pirazólico e mantido.

Utilizando um difrasómetro CAD-1 Inraf-Monius foram medidas 1550, 1450, 1350, 1250, 1150, 1050, 950, 850, 750, 650, 550 e 450 nm, foram utilizadas para resolver a estrutura. A estrutura foi resolvida por métodos diretos e refinada por mínimos quadrados. O resultado final da estrutura é mostrado na figura para a refiação das estruturas e a  $\Delta\theta = 0,0$  para todas as reflexões.

O anôdio benzólico e pirazólico e o anôdio 1-N<sub>3</sub> planos dentro dos respectivos anéis pirazólicos. No entanto, o anôdio 1-tetralinyl-3,5-dimetilpirazol (I) não é plano, e a distância N(2)-C(1) é de 2,485 Å, e a distância N(2)-C(3) é de 1,379 Å e a distância N(2)-C(5) é de 1,381 Å. As distâncias N(2)-C(1) e N(2)-C(3) são maiores que as distâncias N(2)-C(1) e N(2)-C(5). O anôdio 1-tetralinyl-3,5-dimetilpirazol (I) é mais polar do que o anôdio 1-tetralinyl, que indica que o anel pirazólico ainda mantém seu caráter aromático.

O anôdio de coroa, entre os dois anôdios, correspondentes à formação de menor energia de Van der Waals, foi calculado com o uso de um procedimento de minimização de energia.

O anôdio 1-tetralinyl-3,5-dimetilpirazol (I) tem sido usado para sintetizar compostos de interesse biológico. Ele é um líquido incolor, que forma-se quando se adiciona ácido nítrico. A solução alcóolica, formando um precipitado amarelo que disslove-se em diluição. A reação é de natureza determinante: a) a natureza da interação de DMSO-HNO<sub>3</sub>; b) a conformação da molécula de prato, para a comparação com outras estruturas de inódios de pirazolos que já foram descritas; c) a ação do caráter aromático do anel pirazólico e mantido.

Utilizando um difrasómetro CAD-1 Inraf-Monius foram medidas 1550, 1450, 1350, 1250, 1150, 1050, 950, 850, 750, 650, 550 e 450 nm, foram utilizadas para resolver a estrutura. A estrutura foi resolvida por métodos diretos e refinada por mínimos quadrados. O resultado final da estrutura é mostrado na figura para a refiação das estruturas e a  $\Delta\theta = 0,0$  para todas as reflexões.

O anôdio benzólico e pirazólico e o anôdio 1-N<sub>3</sub> planos dentro dos respectivos anéis pirazólicos. No entanto, o anôdio 1-tetralinyl-3,5-dimetilpirazol (I) não é plano, e a distância N(2)-C(1) é de 2,485 Å, e a distância N(2)-C(3) é de 1,379 Å e a distância N(2)-C(5) é de 1,381 Å. As distâncias N(2)-C(1) e N(2)-C(3) são maiores que as distâncias N(2)-C(1) e N(2)-C(5). O anôdio 1-tetralinyl-3,5-dimetilpirazol (I) é mais polar do que o anôdio 1-tetralinyl, que indica que o anel pirazólico ainda mantém seu caráter aromático.

O anôdio de coroa, entre os dois anôdios, correspondentes à formação de menor energia de Van der Waals, foi calculado com o uso de um procedimento de minimização de energia.

O anôdio 1-tetralinyl-3,5-dimetilpirazol (I) tem sido usado para sintetizar compostos de interesse biológico. Ele é um líquido incolor, que forma-se quando se adiciona ácido nítrico. A solução alcóolica, formando um precipitado amarelo que disslove-se em diluição. A reação é de natureza determinante: a) a natureza da interação de DMSO-HNO<sub>3</sub>; b) a conformação da molécula de prato, para a comparação com outras estruturas de inódios de pirazolos que já foram descritas; c) a ação do caráter aromático do anel pirazólico e mantido.

Utilizando um difrasómetro CAD-1 Inraf-Monius foram medidas 1550, 1450, 13



S.C. SC - 2 TRATAMENTO MICROBIOLÓGICO DE ARGILAS. Alírio de Carvalho, Terezinha Cristina Costa Vilela, Maria de Lourdes Barilli e Nílma Barilli (Instituto de Química de Araraquara - UNESP).

Argilas com teor de ferro superior a 1% apresentam problema na utilização industrial para a obtenção de refratários. Assim, estudos sobre a possibilidade da aplicação do tratamento microbiológico em argilas contendo teor elevado de ferro, objetivando-se a diminuição ou mesmo a eliminação deste metal. A atividade microbiana foi acompanhada através de análises químicas.

A redução obtida foi superior a 10% após 7 dias de crescimento microbiano se se usar argila com teor inicial de ferro de 36% em frascos com agitação. Se o crescimento for feito em frascos agitados (250 rpm) a redução no teor de ferro da argila usada será superior a 60%.

Quando se usa argila com teor inicial de ferro de 2% a redução passa a ser de 30% em ambos os processos.

Entre os microorganismos utilizados o *Aspergillus oryzae* mostrou-se o mais eficiente nos dois processos, quando se usa frasco de Erlenmeyer de 250 ml contendo 150 ml de meio Sabouraud-Dextrose, 5 g de argila e 1 ml de induzido. Se o crescimento microbiano for inferior a este dia a redução obtida será menor, mas não maior que somente nesse tempo.

Quando a argila é submetida a mais de um tratamento (tratamento múltiplo) observa-se que a redução obtida em uma etapa é sempre inferior à de etapa anterior.

S.C. SC - 3 DETERMINAÇÃO DE SUBSTÂNCIAS FENÓLICAS COM O REAGENTE DE POLIN-DERVIS. Irineu Bianchini Jr. (UFSCar) e Adelberto P.P. Toledo (UFSCar).

As substâncias fenólicas estão largamente distribuídas no reino vegetal, desempenhando múltiplas funções, algumas das quais ainda não convenientemente estudadas.

O principal problema no estudo de compostos fenólicos de plantas é a sua extração do tecido vegetal com um mínimo de alteração na estrutura de dosagens e caracterização de componentes individuais. A esse respeito, os diversos compostos fenólicos têm sido determinados por cromatografia e espectroscopia e para a dosagem de fenôis totais tem sido usado o método de Polin-Derivis e o Índice de permanência.

Este trabalho tem por objetivo comparar a influência de alguns parâmetros do método de Polin-Derivis, visando uma padronização de metodologia. Assim, foi estudada a influência do tempo decorrido, entre a reação com o reagente de Polin-Derivis e a leitura de cor desenvolvida, bem como do comprimento de onda utilizado para a leitura das variações.

Os resultados obtidos permitem concluir que até 6 horas de tempo decorrido entre a introdução do reagente e a leitura da absorbância não há alteração alguma e com 15 horas há uma alteração bastante grande.

Quanto ao comprimento de onda nossos resultados mostraram claramente que P2 deve ser utilizada e faixa de 350 a 800 nm, sendo 650 nm o comprimento de onda ideal.

PAPESP 79/0826

S.C. SC - 4 ESTABILIZAÇÃO DE SOLOS RODOVIÁRIOS COM CAL. OBSERVAÇÃO DA FORMAÇÃO DE UMA NOVA FASE CRYSTALINA. Nílma Barilli (Departamento de Química Tecnológica e de Aplicação - Instituto de Química - C.P. 174 - 14.800 - Araraquara - S.P.).

Os solos argilosos da Engenharia de Rodovias são considerados como problemáticos em virtude de suas características de expansão e contração, assim como de sua plasticidade frequentemente elevada.

A estabilização desses materiais com aditivos equivale à sua utilização no local, substituindo os transportes, portanto diminuindo os custos de construção.

A estabilização de solos com cal já é técnica dominada nos Estados Unidos. Em países como Alemanha, França e União Soviética, a cal é adicionada para compensar os efeitos do gelo.

No Brasil esta técnica começou a ser implantada modestamente em alguns trabalhos experimentais, como por exemplo o Km 282 da Br 116/MG, Rio - Sabá e a ligação Delfim/Córrego I SP 223-SP. Estas experiências só foram direcionadas a pistas, estudando o comportamento mecânico das bases estabilizadas.

Do ponto de vista químico, óxido-calcário e cristalográfico observamos que existe uma reação de cal com o solo e o aparecimento de uma nova fase cristalina.

Estado Financiado pelo CNPq - Proj. 30.0304/79-QU-07

S.C. SA - 1 SOBRE A REDUÇÃO ELETROQUÍMICA DO Hg<sub>2</sub>N<sub>2</sub>. II.

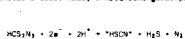
Maria Fábia F.L. Marcondes, Wilson P. Capedato (Dep. de Química da Universidade Federal de São Carlos) e Douglas W. Franco (Instituto de Física e Química São Carlos - USP).

O estudo das reações de transferência de elétrons envolvendo o 1,2,3,4-tetraéterol-5-oxio, Hg<sub>2</sub>N<sub>2</sub>, revelou-se de considerável importância devido às possíveis implicações envolvendo no conhecimento de química dos tetraéterios assim como em sistemas correlacionados tais como, N<sub>2</sub> e SCN<sup>-</sup>.

Enquanto a trabalhos anteriores sobre a eletrorredução do Hg<sub>2</sub>N<sub>2</sub> [F. M. Nitto, N.R. Stradotto e D.W. Franco, Anais do 3º Simpósio Brasileiro de Eletrodio, e Electroanal., 105 (1978)], foi investigado em catalisador a redução eletroquímica de malto ácido (HgCl<sub>2</sub>/NaCl), em diversas potenciais, a fim de determinar o mecanismo geral de reação eletrodio.

As eletrorreduções é potencial controlado foram levadas a efeito em uma célula eletroquímica de um compartimento. O eletrodo de trabalho consistiu em um pote de mercurio purificado com uma área geométrica de 10 cm<sup>2</sup>. O eletrodo auxiliar, de chapeu de platina (0,6cm<sup>2</sup>), foi colocado em um compartimento acionado contendo na extremidade uma placa de vidro de porosidade média. Os potenciais do eletrodo de trabalho foram medidas com relação ao sistema de referência Ag/[AgCl/NaCl(1)]. Os reagentes utilizados foram de pureza analítica com provas. Os experimentos foram conduzidos na ausência de liga puro suíte e descomposição fotocatalítica do desidratador. A análise dos produtos obtidos em HgCl<sub>2</sub> foram feitas por argoniotomia e espectrofotometria.

Os resultados da potencial controlado de soluções de Hg<sub>2</sub>N<sub>2</sub> em HgCl<sub>2</sub> (0,4M/HgCl<sub>2</sub>0,6M) conduzidas em várias potenciais ascendentes sobre a curva de polarização, revelou que o número de elétrons envolvidos por mol de Hg<sub>2</sub>N<sub>2</sub> variou com o potencial do eletrodo n = 2 a -0,322V, n = 4 a -0,400V. A análise qualitativa e quantitativa dos produtos gerados durante a eletrorredução revelou a presença de Hg<sub>2</sub> e Hg<sub>2</sub>N<sub>2</sub> sugerindo que o Hg<sub>2</sub>N<sub>2</sub> foi reduzido eletronicamente em duas etapas eletroquímicas a base neta, o mecanismo geral pode ser postulado:

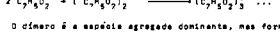


S.C. SA - 2 ADERÇÃO DO ION AMONIACAL EM ÁCIDO ÁGUICO. Ederson Almeida Neves (Instituto de Química da Universidade de São Paulo) e Júlio Olímpio Tognelli (Instituto de Química de Araraquara-UNESP).

O processo de agregação de moléculas e íons de detergentes e polimeroorgânicos tem sido bastante estudado ultimamente. (TANG, L.H. et al., J. Biophysical Chemistry 7 (1977), 121-133).

Na investigação dos complexos de hexaônito de sódio (III) foram estudos no sentido de comprovar a variação do potencial de juncção ( $E_j$ ) resultante de trocas de ion perclorato por hexaônito (ver figura 1). O resultado da troca era compatível com o que se espera da equação de Henderson, baseada na diferença de mobilidade dos dois anions. Os reagentes utilizados foram de pureza analítica com provas. Os experimentos foram conduzidos na ausência de liga puro suíte e descomposição fotocatalítica do desidratador. A análise dos produtos obtidos em HgCl<sub>2</sub> foram feitas por argoniotomia e espectrofotometria.

Os resultados da potencial controlado de soluções de Hg<sub>2</sub>N<sub>2</sub> em HgCl<sub>2</sub>



O diagrama é a espécie agrada contínua, nas formas de tempos de adsorção e constante de equilíbrio abaixo e o diagrama de distribuição respectivo.



As constantes de formação dos complexos de sódio(III) com hexaônito parecem ser estabelecidas pelo fenômeno da agregação, visto que há considerável tendência a entrada do 2º ligante, baixa tensão e entrada do 3º e favorecimento de formação do 4º complexo X(1) 4,45; X<sub>2</sub> 10,34; X<sub>3</sub> 0,28; X<sub>4</sub> 1,02.

FAPESP, FINPE, CAPES e CNPq.

S.C. SA - 4

COMPORTAMENTO ELETROQUÍMICO DO SISTEMA Fe<sup>3+</sup>/Fe<sup>2+</sup> EM SOLUÇÕES AQUECIDAS E ESTELOLÍQUIDAS.

Raimundo Simeão Gonçalves, Dora Soárez e Tiber Kubacki (IQUSP).

Os solventes aquosos são ótimos mediadores para estudos de eletroquímica, tanto quanto os solvatos orgânicos. No entanto, a influência da viscosidade sobre o comportamento eletroquímico, realização de reações eletroquímicas não excepcionais em solvatos orgânicos, é de grande interesse. Um estudo sobre a eletrorredução de ferro(III) que vem sendo realizado em nossos laboratórios com um solvente sob vários aspectos importantes, que é o esterolíquido (EtOH), é apresentado. O sistema Fe<sup>3+</sup>/Fe<sup>2+</sup> em soluções de EtOH(III) em soluções contendo concentrações variadas do solvente são aquecidos sobre e afastado de placas de platina brilhante.

Os resultados mostram que a inversão da corrente e a voltagem da cíclica, as eletrorreduções realizadas com o uso de aparelhos polifuncionais ELETRO-TEST, mostram que a voltagem de transição limita é de 0,02V, para temperaturas de 20 a 45 °C. A concentração de etanol glicol na solução foi variada de 0 a 80 %. A célula eletroquímica é convencional, de vidro, com eletrodo de platina brilhante e diâmetro de 1,0 mm, alternadamente, em disco horizontal e em fio vertical de Aramis geométricas iguais a 24 mm<sup>2</sup> e 9 mm<sup>2</sup>, respectivamente.

Os resultados mostram que a voltagem de transição líquido de etanol glicol é diferente entre os potenciais de pico e de meia-onda é de 24 mV, em média. O significado angular da taxa que representa a velocidade de redução é de 0,02V, para temperaturas variadas satisfatoriamente com o valor teórico de 0,02V para n = 1. Foram determinados, ainda, os valores adimensionalizados da espécie eletroquímica, que é a razão entre a velocidade de redução de ferro(II) e a velocidade de oxidação de ferro(III). A razão adimensionalizada aumenta à medida que a concentração de etanol glicol cresce. Os tempos de transição líquidos variam de 20 a 785 segundos, dependendo da temperatura e da concentração de fio, sendo dependentes da temperatura e da concentração de etanol glicol.

Os resultados experimentais permitem concluir que: (1) o sistema Fe<sup>3+</sup>/Fe<sup>2+</sup> comporta-se reversivelmente sobre o eletrodo de Fe (dos pontos de vista cinetico e estacionariamente e eletroquímico); (2) a voltagem de transição líquida é de 0,02V, para temperaturas de etanol glicol; (3) os tempos de transição líquidos (ausência de convecção) enunciados na literatura, são excessivamente rigorosos, e que os mesmos devem ser considerados para eletrodo de etanol glicol desfavoráveis para se manter a difusão pura e moderada e eletrólito, exceto a viscosidades muito elas.

CNPq - FAPESP

S.C. SA - 1 CALCA CUNIFOLIA Tanis O. Lourenço, Nílida F. Roque e Goikohi Akiba (Instituto de Química e Faculdade de Ciências Farmacêuticas da Universidade de São Paulo).

Em continuação às investigações fitoquímicas do gênero *Calce* (Compositae) relatamos agora o estudo químico completo da espécie *Calce cunifolia* DC.

O extrato hexânico do xilogênio isolamos ácido acetilsalicílico, ácido citrônico, 6-hidroxí-2,2-dimetilcaren-4-ona, 2-metionil-4-(1-hidroxietil)-fenol e cinco novos derivados dessa fitina hexântica. Este é o primeiro relato do isolamento do acetilsalicílico que é ácido livre. Em plantas.

O extrato hexânico das partes aéreas fornecem além de derivados da acetofenona reduzida - presentes no xilogênio - duas lactonas sesquisterpénicas, espiciformina e desacetoxibenzofenóxido. Do extrato estanfônico isolamos uma chalcona e uma flavonona, liquiritigenina, além de esteróis estílicos de ácidos inaturados. Estes estão também presentes em quantidade no extrato hidrológico. A esterificação deve ocorrer durante o processo de extração.

Os isolamentos são efetuados através de técnicas cromatográficas e as determinações estruturais ou identificações por meio de métodos espectroscópicos.

Acetofenonas isopropeniladas são comuns em espécies da família Compositae. Acetofenonas reduzidas, como as que ocorrem em *Calce cunifolia*, só foram encontradas em espécies da tribo Inuleae, *Heliantheae* e *Eupatorium*. (FAPESP, CNPq)

S.C. SB - 2 LIQUIDAÇÃO DE BIOMASSAS NÃO APROVEITÁVEIS-ULJE BRUNHARDT (INSTITUTO DE QUÍMICA, UNICAMP, C.P. 1170, 13.100 CAMPINAS, S.P.).

O Brasil encontra-se apresentando esforços na utilização de biomassas de diferentes origens, mas vez que estas somente em um grande potencial energético para o país, no sentido de produzir produtos industriais e energia, atualmente importados. Os processos industriais de produção de álcool a partir da cana de açúcar ou da produção de celulose e serraria, fornecem produtos laterais tais como bagaço de cana ou lúpulo negro, é comum trazê-los, que só agora têm um qualquer valor comercial. Tornam-se assim necessários esforços ao máximo no aproveitamento destas biomassas.

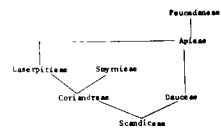
Em um autoclave de alta pressão foram reagidas, em 100 ml de água, 10 g de bagaço de cana com formol de sódio sob pressão de ar, no seu conteúdo de carbono na presença de uma base. Sob as condições de 250°C foram obtidos 85% de peso molecular médio de 300 que apresentam uma relação N/C de cerca de 1,1, e rendimento observado foi de 40%, calculado através do conteúdo de carbono da matéria prima e do produto obtido. Foi verificado ainda que a hidrólise alcólica do bagaço de cana sob as mesmas condições fornece Glucosa que apresentam a relação N/C de cerca de 1,1-1,3, com rendimentos inferiores a 40%, o que mostra a ação redutora do formol. Por outro lado, a hidrólise cogre resultante do processo Kraft pode ser hidrolisada com base rendimento; acidificando o meio residual podem ser obtidos, sob 97% de rendimento, Glucosidases neutras contendo cerca de 75% de carbono e 10% de hidrogênio (relação N/C em torno de 1,7), com peso molecular médio de 300. O valor salinifício estimado destas Glucosidases é 38000 KJ/kg.

Os resultados obtidos mostram que estas biomassas não aproveitadas podem ser transformadas em compostos de elevado valor comercial. Deverá então estudar-se para efeitos técnicos-práticos bem como as aplicações de utilização destas Glucosidases para implantação de uma planta piloto de conversão destas biomassas (CNPq - FAPERJ).

S.C. 80 - 3 QUIMICOSISTEMATICA DE UMBELLIFERAE  
Esmaralda V. Araújo (Divisão Científica), Maria Fátima da G.F. da Silva (Química)  
UFSCar) e Otto H. Gottlieb (IQ-USP).

As cumarinas constituem uma classe de substâncias que, praticamente, caracterizam as famílias Rutáceas e Umbelliferae. A comunicação discute, portanto, ao seu uso como marcador sistemático apenas em Umbelliferae. Biologicamente, todas as cumarinas da Umbelliferae parecem ser derivadas de Umbelliferona. Cumarina não substituída é sintetizada por uma rota diferente e, portanto, não pertence ao mesmo grupo biogênico.

O mapa do grupo biogênico, codificado constitutivo a base que possibilita a composição de diagrama Vennd-Buler de similitudes químicas e a construção de gráficos bidimensionais onde se pode visualizar as similitudes químicas entre espécies e as suas relações evolutivas. A aplicação desse método ao grupo biológico das cumarinas revelou, na família Umbelliferae, as relações evolutivas entre os tribos e seus respectivos gêneros. A correlação entre esses tribos, resumida na figura abaixo, está em excelente concordância com a evidência morfológica. (CNPq)



S.C. 80 - 4 ALGUNS CONSTITUENTES QUÍMICOS DE ESPÉCIES DE MYRISTICACEAE. L.M. Xavier Lopes, P.C. Vieira, M. Yoshida, O.R. Gottlieb (Universidade de São Paulo), H.P. Paulino Filho (Universidade Estadual Paulista) e T.J. Nagem (Universidade Federal de Minas Gerais)

Do extrato benzénico da semente de *Virginia sessiliflora* Aub. (Myristicaceae) isolaram-se, além de triglicerídeos, ester saponáceas: (2S,3S,4R) 4-hidroxi-2,3-dimetil-5,6-metilenodioxi-4-piperonil-1-tetralona; (2R,3S,4R) 4-hidroxi-2,3-dimetil-6,7-dimetoxi-4-piperonil-1-tetralona; (2R,3S,4R) 2,3-dimetil-6,7-dimetoxi-4-piperonil-1-tetralona; ácido 3-metil-6,7-dimetoxi-1-piperonil-1-naftólico; 2,3-dimetil-4-piperonil-4-varatril-1-butanol; 11-fenil-1-(2,6-dihidroxifenil)-undecan-1-ona. A configuração absoluta foi determinada pelo emprego de espetrofotometria.

Do extrato benzénico dos frutos de *Iryanthera grandis* e da malva de *Iryanthera jurensis* foram isoladas substâncias lachninas com o esqueleto u-árid-3-alquil-butanoídeo. A determinação estrutural de (2S,3S,4R) 3-hidroxi-4-metil-2-(1S-fenil) pentadecilbutanoídeo e (2S,3S,4R) 3-hidroxi-4-metil-2-(1S-piperonil)pentadecilbutanoídeo envolveu a análise das constantes de acoplamento de  $\Delta_1$ ,  $\Delta_2$  e  $\Delta_3$ , estudo de deslocamentos induzidos na NMR por lanthanídos e derivatização para a determinação de configuração aboluta.

Financiadores: FAPESP e CNPq

S.C. 80 - 5 PROBLEMAS DO ENSINO DE QUÍMICA NO SEGUNDO GRAU NA RECLEIÃO DE SÃO CARLOS. CARLOS C.M. Boite (UFSCar) - J.C. Nogueira (UFSCar) - R.B. da Silva (UFSCar) - M.C. Dal Pian (UFSCar) - D.B. Hartwig (UFSCar) - T.N.C. de Rose (UFSCar) - J.C.C. De Rose (UFSCar) - R.C. Rocha Filho (UFSCar) - T.N.C. de Rose

Como são encaradas as informações sobre o ensino de professores de Química de segundo grau principais e secundários? Como é possível obter dados que permitem uma descrição sistemática de problemas de desempenho de professores de Química? Como é possível levantar dados que permitem uma descrição sistemática dos variáveis relevantes para o desempenho de professores de Química? Os resultados obtidos através de um curso de Extensão Universitária num total de 30 horas, oferecido aos professores de Química do Segundo Grau da região de São Carlos, Minas Gerais, os quais cursaram o curso de Licenciatura em Química, foram utilizados para relatar os seus desempenhos. Esses relatos foram registrados e analisados pelos pesquisadores.

Os relatos verbais foram categorizados, levando-se em conta as seguintes críticas:

1. relatos referentes a condições institucionais;
2. relatos referentes a objetivos de ensino e desempenho geral;
3. relatos feitos pelo professor ao executar suas tarefas;
4. relatos referentes aos resultados relacionados às condições de ensino;
5. relatos referentes a outras apresentadas pelo professor ao exercer suas funções.

Embora os resultados sobre o enunciado original de uma situação para outra, de um modo geral, mostraram que o desempenho Química, não podem ser resumidos pelos seguintes:

- a. aprendizado reduzido, ou praticamente nulo dos alunos;
- b. aprendizado restrito a conteúdos básicos;
- c. alunos não relacionam entre si os conteúdos ensinados;
- d. pouca atenção à parte teórica;
- e. interesse reduzido ou nulo dos alunos pela disciplina;
- f. altos índices de reprovação; abandono ou aprovação dos alunos sem aproveitamento suficiente.

Convenção UFSCar - NEC - INEP 07/79.

S.C. 80 - 2 UM EXEMPLO EXPERIMENTAL DE APLICABILIDADE DA QUÍMICA NA ESCOLA DE 2º GRAU - MEDIDA DE DIOXÍDIO DE ENXOFRE COMO POLLENTE ATMÓSFERICO. Claudio Barros Almeida (CTEBSS) e Maria Lúcia Nogueira Harcangeli (Instituto de Química, USP).

Fazem parte, fatores do ensino de Química no Brasil, a quase ausência de experimentação e quando ela existe, raras vezes é vinculada a uma aplicação mais objetiva do conhecimento e a seu aplicativo. A experiência de ensino de 2º grau é di-justo que possibilita o desenvolvimento do conhecimento químico relacionando-se os aspectos teóricos com problemas práticos, situados no caso, particularmente, no campo da poluição atmosférica. O problema de medir o poluentes de hidrogênio, por exemplo, é de grande interesse, tanto para a abordagem do conhecimento químico quanto para a aplicação da mesma. As experiências são adequadamente discutidas com a realização da experiência. Conceitos de concentração de soluções em fase líquida e gás, de reacções de oxidação-redução, de titulação, de cálculo, de álgebra, de titulação, desenvolvendo a partir de um problema concreto, fazem com que o aluno perceba a utilidade da aplicação do conteúdo teórico ao mundo real. A aplicação da natureza e não só é o que não é apreendido de técnica em si.

O método utilizado neste experimento é o de titulação. O procedimento experimental é adaptado para tornar a experiência viável em escolas de 2º e 3º graus, exigindo materiais de baixo custo e facilmente encontrados no mercado. O sistema de coleta de amostra é adaptado ao ambiente de laboratório e tubos de PVC flexível. No sistema de coleta de amostra de nebulizado, a bomba de succão foi substituída por uma bomba de ação, que é mais eficiente. O sistema de coleta de amostra é adaptado com uma rocha de borracha e tubos de PVC. O sistema de titulação, desenvolvida a partir de um problema concreto, faz com que o aluno perceba a utilidade da aplicação do conteúdo teórico ao mundo real. A aplicação da natureza e não só é o que não é apreendido de técnica em si.

Este trabalho foi desenvolvido no Instituto de Química da Universidade São Paulo com a colaboração dos estudantes Roberto Goto e Roberto Viana.

S.C. 80 - 3 EXTRAÇÃO DE SUBSTÂNCIAS HUMÍCAS - UMA CORRIFICAÇÃO DE METODOLOGIA. P.F. Toledo, J.L. Carvalho e M.A. de Moraes - Universidade Federal de São Carlos - UFSCar.

A matéria orgânica existente no solo, (e por extensão no sedimento), pode ser classificada em substâncias humícas também chamadas humina e substâncias não humícas, sendo que as primeiras constituem a parte mais importante.

Várias são as aplicações para a extração de substâncias humícas de solos e sedimentos, o que traz sérias dificuldades para se comparar os resultados obtidos pelos diferentes pesquisadores, uma vez que os métodos de extração podem conhecer outras substâncias e/ou alterar qualitativamente as substâncias humícas extraídas.

Este trabalho tem por objetivo comparar os resultados obtidos pelo emprego de vários solventes, citados na literatura, quanto a sua eficiência de extração bem como quanto a alterações provocadas no material, para otimizá-los com relação a extração.

Assim 10g de sedimento coletado na Represa do Lobo (Braga) foram extraídos com NaOH 0,5N, 0,1N; NaHSO<sub>4</sub> 0,1M pH 7; pH 8; Na<sub>2</sub>HPO<sub>4</sub> 0,1M; NaClO<sub>4</sub> 0,5M com pré-extracção por meio de áter etílico, acetônicos, etanol, HCl, benzoato-metanol-acetato (70/15-15).

Agora extração foi feito o fracionamento em óxido hídrico e fulvico com HCl (pH) e as frações obtidas foram examinadamente purificadas e estão sendo utilizadas para determinação de ácidos carboxílicos e fenólicos, milíssimas tândem e espectroscopia de ácido vermelho.

Os resultados obtidos até o momento mostraram claramente um maior poder de extração com NaOH 0,5N o qual é aumentado pelo tratamento com áter etílico (2 vezes para óxido hídrico e 3 vezes para fulvico). Os outros tratamentos aumentaram a quantidade de ácido fulvico extraído mas não o de humina.

CNPq - Proc. 100016-79

S.C. 7A - 1 ESTUDOS DE EQUILÍBRIOS NO SISTEMA MISTO Cu(II)/Pyr/ DNA/ACETATO. Eduardo P.A. Neves (USP), Morena Pinto Peters (UFSCar).

Relatou-se no 19 Encontro Regional da SBQ (Livre de Resumos, p. 48), o estudo espectrofotométrico de constantes condicionais de formação de monossódio complexos de cobre(II), coordenados com moléculas de piridina (Py), em diversos níveis de H.

$$K_{\text{M}} = \frac{[\text{Cu}(\text{Py})_2]^2}{[\text{Cu}(\text{Py})_2^+][\text{H}]}$$

Analisando as concentrações de equilíbrio  $[\text{Cu}(\text{Py})_2^{+}]$  e  $[\text{Cu}(\text{Py})_2]$  pode-se deduzir uma equação, que apresenta considerável ponderação para o estudo das constantes  $K_{\text{M}}$ . Foram montadas 32 equações simultâneas, e agrupadas da seguinte forma:

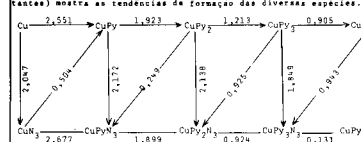
$$\sum \frac{K_{\text{M}} \cdot K_{\text{M}}^{\text{H}} \cdot [\text{O}_2]}{[\text{Cu}(\text{Py})_2^+]^2} = \frac{a_1}{[\text{Cu}(\text{Py})_2^+]^2} + \frac{a_2}{[\text{Cu}(\text{Py})_2^+]^2} + \frac{a_3}{[\text{Cu}(\text{Py})_2^+]^2} + \frac{a_4}{[\text{Cu}(\text{Py})_2^+]^2}$$

Com o termo dependente à esquerda e os 4 (termos de formação dos piridin complexos de cobre(II)) foi possível por cálculo matrizes, obter quatro incógnitas ou seja, as quatro constantes  $K_{\text{M}}$  correspondentes a piridina, resultando da equação de 11 para o acréscimo da piridina complexo de cobre(II):

$$\text{Cu}(\text{Py})_2^{2+} + \text{H}^+ \rightleftharpoons \text{Cu}(\text{Py})_2^+$$

sendo:  $K_{\text{M}}^{\text{H}} = 1,49 \cdot 10^{-2}$ ;  $K_{\text{M}}^{\text{Py}} = 1,38 \cdot 10^{-3}$ ;  $K_{\text{M}}^{\text{O}_2} = 7,06 \cdot 10^{-1}$ ;  $K_{\text{M}}^{\text{H}_2\text{O}} = 1,19 \cdot 10^{-1}$ .

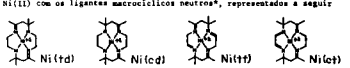
Os resultados mostram que 1 ou 2 ligantes de piridina (devido a estabilidade da formação de complexos de piridina com o nucleo carbônico). A sistemática adotada permitiu obter os muito precisos, de considerável interesse teórico e prático em outras aplicações relevantes. O diagrama ótico (com as 4 constantes) mostra as tendências de formação de diversas complexos.



(USP - UFPEL - CAPES/FICD - CNPq - FINEP).

S.C. 7A - 2 ESTUDOS DO CONDUTIVITÁT ELETRÔNICO DE COMPLEXOS MACROCÍCLICOS DE Ni(II) EM SOLUÇÕES DE SOLVENTES APÓTÓTICOS. Ernesto Rafael Gonçalves, Germano Tropelius P. e Luis Alberto Avelar (Inst. de Física e Química de São Carlos-USP).

Foram estudadas as características eletroquímicas da Oxidação-redução de complexos de Ni(II) com as ligantes macrocíclicas neutras, representadas a seguir:



Estes estudos foram feitos através de voltametria cíclica em soluções 0,1 M de perclorato de tetra-butilamônio em acetona sobre eletrodos de carbono vitrificado, platina e mercúrio.

As reduções destes compostos sobre carbono vitrificado apresentam dois processos de transferência de carga, sendo que tanto os pares de íons Ni(II) e Ni(III) como os Ni(II) e Ni(III) exibem comportamentos essencialmente semelhantes entre si.

Foram feitos diversos estudos focalizando cada um dos processos eletroquímicos separadamente. O primeiro processo de redução tem características reversíveis envolvendo a transferência de um elétron. A partir destes fatos foi possível calcular o coeficiente de difusão das espécies electroativas.

Para os eletrodos de platina e mercúrio os processos de redução dos complexos em estudo exibem um comportamento análogo aquele apresentado sobre carbono vitrificado. Pode observar que tanto o Ni(II) como o Ni(III) apresentaram sobre platina uma pra-onda catódica, o que não faz parte do referido processo. É interessante mencionar que o primeiro processo de redução foi independente do material eletrodo. A segunda redução apresentou características bastante complexas, e dependentes da história prévia do eletrodo de platina.

Para os processos de oxidação dos complexos em questão somente os resultados em carbono vitrificado permitem uma análise detalhada dos resultados. Neste caso, as oxidações apresentam um único conjunto de picos anódico e catódico.

Estes processos também correspondem à transferência de um elétron mas as separações dos potenciais de pico, bem maior que 50 mV, parecem indicar que não processos "quase-reversíveis", ou seja, uma transferência eletrônica moderadamente lenta.

Pôs estudo o efeito de velocidade de varredura sobre a separação dos potenciais de pico e que permitiu uma análise de cínica do processo. A partir deste estudo foram estimados os valores das constantes de velocidade de transferência eletrônica heterogênea.

\* Os complexos macrocíclicos de Ni(II) foram gentilmente fornecidos pelo Prof. Juan Alberto Costamagna da Universidade Técnica do Estado (Santiago, Chile). Os nossos sinceros agradecimentos à FAPESP que possibilitou a execução deste trabalho.

S.C. 7A - 3 ELETROQUÍMICA DE COMPOSTOS DERIVADOS DA BIOMASSA - I. OXIDAÇÃO ANÔDICA DO GLICEROL. Tibácio Ribeiro e Reinaldo Simões Gonçalves (UFSCar)

Com a redução das reservas de combustíveis fósseis torna-se importante a busca de substitutos para os produtos petroquímicos e seus derivados. A busca prima das substâncias que devem ser preferencialmente compostas de carbono vegetal. A biomassa é uma fonte de matéria prima que pode ser derivada contorcionalmente ou por fatores de matéria prima. A transformação dos derivados da biomassa em compostos economicamente importantes a eletroneutrados pode ser feita por meio de reacções de oxidação. O glicerol é um dos compostos mais abundantes da biomassa, sendo que é composto por três ácidos graxos e polihidroxilados, entre os quais se encontra o glicerol.

Este trabalho experimental empregado é de voltametria cíclica, realizado por intermédio do aparelho polifuncional PAM 170. A célula empregada é convencional, com 3 eletrodos, sendo o eletrodo de trabalho um de glicerol e o de referência um de hidrogênio. O eletrodo de referência é de sulfato de mercurio.

Quando se adiciona glicerol a uma solução 1 M de ácido sulfônico, observa-se aumento de voltagem no sentido de potenciais mais positivos, o surgimento de um pico entre os potenciais de 0,4 e 0,84 V, com  $E_p = 0,75 \pm 0,05$  V. Em seguida, com o aumento de glicerol, o voltametro indica o traço do branco, parar sistematicamente a partir de 1,05 V.

Durante a varredura em sentido oposto observa-se o pico correspondente à redução do glicerol, ligeiramente deslocado para potenciais mais negativos, com  $E_p = 0,65 \pm 0,05$  V, correspondendo ao ponto zíonal, e surge um traço branco.

A ação do primeiro pico corresponde a 0,4 V, e a do segundo a 0,84 V, tanto o pico correspondente ao hidrogênio, quanto o de sulfato de mercurio.

As observações já descritas permitem concluir: que (1) o glicerol é adsorrido rapidamente sobre o eletrodo de platina blindado; (2) as adsorções de hidrogênio e de sulfato de mercurio são irreversíveis; (3) o glicerol é oxidado a platinato e aquecendo-o.

Os resultados da oxidação do glicerol adoravido a 0,65, presumivelmente, eletroativos.

FAPESP - CNPq

Em 1965, Smolinsky e Peveri (J. Org. Chem. 21:1423(1966)) descreveram a reação de 3-fenil-2H-azirina com várias anilinas substituídas; nestas reacções a anilina é utilizada em grande excesso e a temperatura é em torno de 175°C, são formados os compostos produtivos: benzinalininas, pirazinas, fenantrenalininas e imidazolinas, sendo que a 2,5-difenilpirazina é obtida com rendimento de apenas 28%. Mais tarde, em 1967, Hasmer e Fowler (J. Am. Chem. Soc. 89:2870(1966)) descreveram a reação de 3-fenil-2H-azirina e metanol, em presença de pequenas quantidades de metônico, onde foi observada a formação do 1,1-dimétil-1H-1-fenil-2-azinopropiona. Nesta reação não é formada a pirazina correspondente, elém disso os autores não citam a reação entre 3-fenil-2H-azirina e metanol.

Projetamos a reação de 3-fenil-2H-azirina e metanol em excesso, a temperatura ambiente e verificamos que, ao contrário do que foi por Hasmer e Fowler, forma-se a 2,5-difenilpirazina com rendimento de 40%. Quando entramos com a reação de 3-fenil-2H-azirina e metanol, em presença de pequenas quantidades de metônico, obtemos o espectro de formação de 2,5-difenilpirazina, que agora com um grau de deuteração pelo glicerol, com o qual se forma a pirazina correspondente, elém disso obtemos a 2,5-difenilpirazina.

Reagimos então, na proporção estioquímica de 1:1, a 3-fenil-2H-azirina e metanol-d<sub>6</sub> e observamos a formação lenta e gradativa de um produto cristalino que não se trata de 2,5-difenilpirazina. Este produto apresenta no espetro de ressonância magnética de prótons um multiplete em 7.3-8.1 ppm, um singulete em 7.1 ppm, além de um singulete arredondado em 2.3 ppm. No espetro de carbono de IR observamos a formação de 2,5-difenilpirazina, que agora com um grau de deuteração do glicerol, apresentava no final uma grande proporção de CD<sub>2</sub>OH.

Reagimos então, na proporção estioquímica de 1:1, a 3-fenil-2H-azirina e metanol-d<sub>6</sub> e observamos a formação lenta e gradativa de um produto cristalino que não se trata de 2,5-difenilpirazina. Este produto apresenta no espetro de ressonância magnética de prótons um multiplete em 7.3-8.1 ppm, um singulete em 7.1 ppm, além de um singulete arredondado em 2.3 ppm. No espetro de carbono de IR observamos a formação de 2,5-difenilpirazina, que agora com um grau de deuteração do glicerol, apresentava no final uma grande proporção de CD<sub>2</sub>OH.

Reagimos então, na proporção estioquímica de 1:1, a 3-fenil-2H-azirina e metanol-d<sub>6</sub> e observamos a formação lenta e gradativa de um produto cristalino que não se trata de 2,5-difenilpirazina. Este produto apresenta no espetro de ressonância magnética de prótons um multiplete em 7.3-8.1 ppm, um singulete em 7.1 ppm, além de um singulete arredondado em 2.3 ppm. No espetro de carbono de IR observamos a formação de 2,5-difenilpirazina, que agora com um grau de deuteração do glicerol, apresentava no final uma grande proporção de CD<sub>2</sub>OH.

O mecanismo envolvido será discutido.



